

**STRUTTURA COMPLESSA
DIPARTIMENTO TERRITORIALE PIEMONTE SUD EST
Struttura Semplice Produzione**

RELAZIONE DI CONTRIBUTO TECNICO-SCIENTIFICO

Pratica G07_2021_00227

Risultato atteso B5.16

COMUNE DI ALESSANDRIA

DEPOSIZIONI DI PFAS PRESSO FRAZIONE SPINETTA MARENCO

Marzo 2022 - Agosto 2023

Redazione	Funzione: Collaboratore tecnico professionale Dipartimento Territoriale Piemonte Sud Est Cristina Otta Cristina Littera	
Verifica	Funzione: Posizione Organizzativa Nome: Dr. Paolo Bisoglio	
Approvazione	Funzione: Responsabile Attività di Produzione Sud Est Nome: Dr. Enrico Bonansea	

1. INTRODUZIONE

Le deposizioni atmosferiche rappresentano un importante meccanismo di rimozione delle sostanze presenti in atmosfera. Distinguiamo due processi di deposizione, la cui somma rappresenta le deposizioni atmosferiche totali:

- la deposizione secca, insieme dei processi di trasporto di gas e aerosol dall'atmosfera alla superficie terrestre in assenza di precipitazione; tiene conto di meccanismi quali l'interazione con gli elementi presenti al suolo (suolo nudo, vegetazione, specchi d'acqua, ecc.) nonché la sedimentazione per effetto della gravità delle particelle di dimensioni maggiori. Dipende, in generale, dalla turbolenza atmosferica nella parte di PBL più prossima alla superficie terrestre, dalle proprietà chimico-fisiche della sostanza (solubilità o reattività degli inquinanti gassosi, dimensione o forma del particolato solido), dalla natura della superficie a contatto con il fluido atmosferico (ad es. le superfici naturali con copertura vegetale sono generalmente favorevoli alla deposizione secca);
- la deposizione umida, rappresentata dai processi di trasporto degli inquinanti atmosferici al suolo operata dalle precipitazioni (pioggia, neve, nebbia).

Nel caso del particolato atmosferico, le grandezze che influenzano maggiormente la deposizione secca sono la dimensione e la densità. In particolare:

- le particelle con diametro compreso fra $0.05\mu\text{m}$ e $2\mu\text{m}$ non subiscono quasi il fenomeno della deposizione secca e rappresentano parte dell'aerosol atmosferico con vita media anche di alcuni giorni;
- le particelle con diametro superiore a $2\mu\text{m}$ e inferiore a $20\mu\text{m}$ mostrano un comportamento dominato dalla velocità di deposizione, grandezza che definisce la relazione fra il flusso di deposizione verticale secco delle particelle (ossia la quantità di materiale che si deposita sull'unità di superficie nell'unità di tempo) e la concentrazione delle particelle;
- le particelle con diametro superiore a $20\mu\text{m}$ sono influenzate principalmente dalla gravità, con comportamento dominato dalla velocità di sedimentazione¹.

L'obiettivo della campagna di misura, iniziata nel marzo del 2022 e tutt'ora in corso, è quello di creare una base storica di dati relativi ai flussi di deposizione di PFAS, al fine di valutare eventuali criticità ambientali legate al polo chimico SSPI di Spinetta Marengo-Alessandria.

Il presente report costituisce un aggiornamento di quelli precedentemente inviati agli Enti (a cui si rimanda per i dettagli), illustrando i risultati ottenuti nel periodo marzo 2022- agosto 2023.

I siti di misura individuati per il campionamento sono posizionati a Spinetta Marengo, presso la stazione della Rete Regionale della qualità dell'aria di Via Genova e in strada Bolla, e nella frazione San Zeno di Montecastello, solo a partire dal mese di ottobre 2022, sito ubicato a circa 9 Km dal Polo chimico in direzione Nord Nord Est, come raffigurato nella figura 1 sottostante.

Ai tre punti sopra elencati, a partire dal mese di ottobre 2023, è stato aggiunto un ulteriore punto di misura presso la stazione della qualità dell'aria della Rete Regionale di Alessandria Volta.

¹ Sozzi R. et al., 2003: La micrometeorologia e la dispersione degli inquinanti in atmosfera

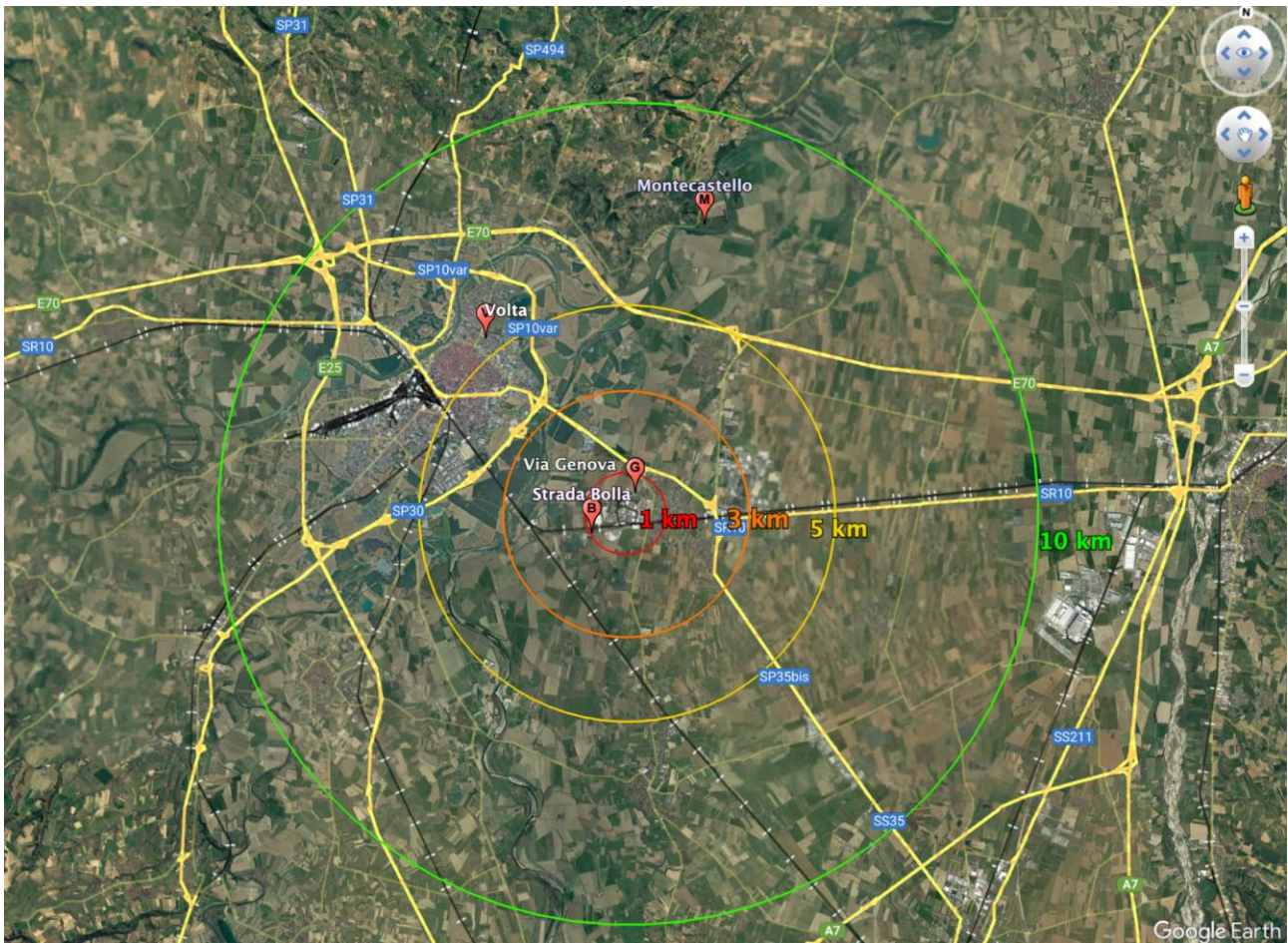


Figura 1- Localizzazione geografica delle postazioni site in via Genova, in Strada Bolla, fraz San Zeno-Montecastello e Alessandria con indicazione buffer 1-3-5-10 km

2. DISPOSITIVI E METODICHE DI CAMPIONAMENTO

Per il campionamento sono stati impiegati sistemi di raccolta delle deposizioni totali (frazione secca + frazione umida) costituiti da un bottiglione di raccolta da 10 litri e da un imbuto con diametro 20cm (Figura 2).



Figura 2- Deposimetri

Con i deposimetri si campiona la deposizione atmosferica totale (frazione secca + frazione umida), ovvero la massa totale di sostanza inquinante che, in una data area espressa in m² e in un determinato periodo di tempo espresso in giorni (circa 30 giorni), è trasferita dall'atmosfera al suolo, alla vegetazione, all'acqua, agli edifici e a qualsiasi altro tipo di superficie.

La concentrazione delle deposizioni atmosferiche viene espressa come [massa di inquinante (µg) * m⁻² giorno⁻¹].

Sono stati determinati i seguenti parametri:

Composto	Sigla	Formula	CAS
Acido perfluorodecanoico	PFDA	C ₁₀ HF ₁₉ O ₂	335-76-2
Acido perfluoro-n-dodecanoico	PFDoA	C ₁₂ HF ₂₃ O ₂	307-55-1
Acido perfluoro-n-eptanoico	PFHpA	C ₇ HF ₁₃ O ₂	375-85-9
Acido perfluorononanoico	PFNA	C ₉ HF ₁₇ O ₂	375-91-1
Acido perfluoro-n-undecanoico	PFUdA	C ₁₁ HF ₂₁ O ₂	2058-94-8
Acido perfluorobutanoico	PFBA	C ₄ HF ₇ O ₂	375-22-4
Acido perfluorobutansolfonico	PFBS	C ₄ HF ₉ O ₃ S	375-73-5
Acido perfluoroesanoico	PFHxA	C ₆ HF ₁₁ O ₂	307-24-4
Acido perfluorooctanoico	PFOA	C ₈ HF ₁₅ O ₂	335-67-1
Acido perfluorooctansolfonico	PFOS	C ₈ HF ₁₇ O ₃ S	1763-23-1
Acido perfluoropentanoico	PFPeA	C ₅ HF ₉ O ₂	2706-90-3
Acido perfluorodecansolfonico	PFDS		
Acido perfluoroesansolfonico	PFHxS	C ₆ HF ₁₃ O ₃ S	355-46-4
Difluoro[[2,2,4,5-tetrafluoro-5-(trifluorometoxy)-1,3-dioxolan-4-yl]oxy]acetic acid	cC ₆ O ₄	C ₆ HF ₉ O ₆	1190931-41-9
(1-Propene, 1,1,2,3,3,3-hexafluoro-, telomer With chlorotrifluoroethene, oxidized, reduced, hydrolyzed)	ADV N2		

I deposimetri sono stati esposti mensilmente ed inviati al laboratorio specialistico per le analisi.

3. RISULTATI

I campioni analizzati hanno evidenziato la presenza di cC_6O_4 e ADV N2, con valori mediamente sempre maggiori presso la postazione di via Genova rispetto a quelli di strada Bolla.

Presso la postazione di Montecastello la deposizione di ADV-N2 è risultata sempre inferiore al limite di quantificazione (LOQ) mentre per il cC_6O_4 si osservano due valori di deposizione positivi, nei mesi di febbraio e marzo 2023. Nei mesi successivi non sono state rilevate nuove positività.

Si evidenzia che i limiti di quantificazione dei campioni analizzati sono variabili a causa della differenza nella quantità di precipitazioni raccolte nei diversi periodi di prelievo (vedi tabella 3).

In alcuni campioni di via Genova è stata rilevata anche la presenza di PFOA, PFBA e PFOS con valori prossimi al limite di quantificazione (LOQ); in strada Bolla di PFBA e PFDoA.

Si riportano di seguito i risultati finora ottenuti, in forma tabellare (tabella 1 e 2) e in grafico (Nota: nei grafici i dati < LOQ sono identificati con il numero zero).

In allegato 1 sono riassunti i risultati sinora refertati per tutti i campioni eseguiti.

	PERIODO PRELIEVO DEPOSIZIONE	CC604 $\mu\text{g}/(\text{m}^2\text{day})$			ADV-N2 $\mu\text{g}/(\text{m}^2\text{day})$		
		Strada a Bolla	Via Genova	Montecastello	Strada Bolla	Via Genova	Montecastello
2022	02mar-07apr	0.98	1.94		0.19	0.77	
	07apr-05mag	2.71	1.86		0.18	0.8	
	05mag-03giu	0.41	3.58		0.09	0.65	
	03giu-06lug	0.28	2.19		0.1	0.77	
	06lug-08ago	0.27	0.59		0.11	0.25	
	08ago-07set	0.78	1.31		0.07	0.24	
	07set-05ott	0.66	1.71		0.11	0.60	
	05ott-08nov	0.15	1.29	<0.04	<0.04	0.21	<0.04
	08nov-07dic	0.16	1.35	<0.16	<0.16	<0.16	<0.16
	07dic22- 13gen23	0.15	0.81	<0.08	<0.08	<0.08	<0.08

Tabella 1-Valori deposizione atmosferiche cC_6O_4 e ADV-N2 registrate nel 2022 (marzo – dicembre 2022)

	PERIODO PRELIEVO DEPOSIZIONE	CC604 $\mu\text{g}/(\text{m}^2\text{day})$			ADV-N2 $\mu\text{g}/(\text{m}^2\text{day})$		
		Strada Bolla	Via Genova	Montecastello	Strada Bolla	Via Genova	Montecastello
2023	13gen-15feb	0.23	0.95	< 0.04	<0.04	<0.04	< 0.04
	15feb-15mar	0.37	1.61	0.14	0.06	0.21	<0.04
	15mar-14apr	0.72	2.88	0.16	<0.04	0.20	<0.04
	14apr-11mag	0.36	0.43	<0.07	<0.08	<0.06	<0.07

	11mag-22giu	0.36	0.56	<0.07	<0.12	<0.12	<0.07
	22giu-03ago	<0.04	0.23	<0.04	<0.04	0.04	<0.04
	03ago-07set	0.12	0.49	<0.07	<0.07	0.09	<0.07

Tabella 2-Valori deposizione atmosferiche cC6O4 e ADV-N2 registrate nel 2023 (gennaio – agosto 2023)

	PERIODO PRELIEVO DEPOSIZIONE	CC6O4 µg/(m ² day)			ADV-N2 µg/(m ² day)		
		LOQ Strada Bolla	LOQ Via Genova	LOQ Montecastello	LOQ Strada Bolla	LOQ Via Genova	LOQ Montecastello
2022	dal...al...						
	02mar-07apr	0.04	0.04		0.04	0.04	
	07apr-05mag	0.04	0.04		0.04	0.04	
	05mag-03giu	0.04	0.04		0.04	0.04	
	03giu-06lug	0.04	0.04		0.08	0.04	
	06lug-08ago	0.04	0.04		0.08	0.04	
	08ago-07set	0.04	0.04		0.04	0.04	
	07set-05ott	0.04	0.04		0.08	0.04	
	05ott-08nov	0.04	0.04	0.04	0.04	0.04	0.04
	08nov-07dic	0.04	0.04	0.16	0.16	0.16	0.16
2023	07dic22- 13gen23	0.04	0.04	0.08	0.08	0.08	0.08
	13gen-15feb	0.04	0.04	0.04	0.04	0.04	0.04
	15feb-15mar	0.04	0.04	0.04	0.04	0.04	0.04
	15mar-14apr	0.04	0.04	0.04	0.04	0.04	0.04
	14apr-11mag	0.04	0.04	0.07	0.08	0.06	0.07
	11mag-22giu	0.04	0.04	0.07	0.12	0.12	0.07
	22giu-03ago	0.04	0.04	0.04	0.04	0.04	0.04
	03ago-07set	0.04	0.04	0.07	0.07	0.04	0.07

Tabella 3-Limite di quantificazione LOQ per cC6O4 e ADV-N2 marzo2022 – agosto 2023

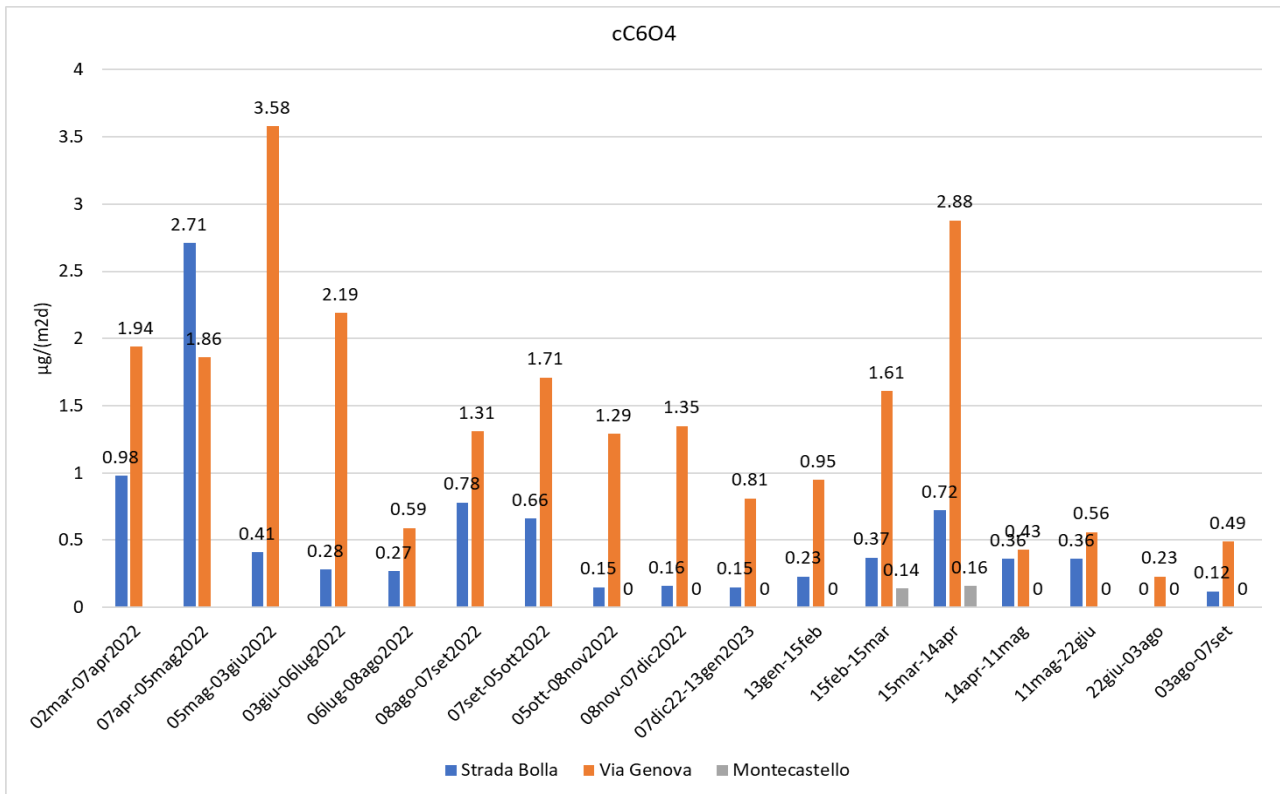


Figura 12 - Deposizioni atmosferiche cC6O4 marzo 2022-agosto 2023 – Postazioni di Via Genova, Strada Bolla e Montecastello (quest'ultima da ott-2022)

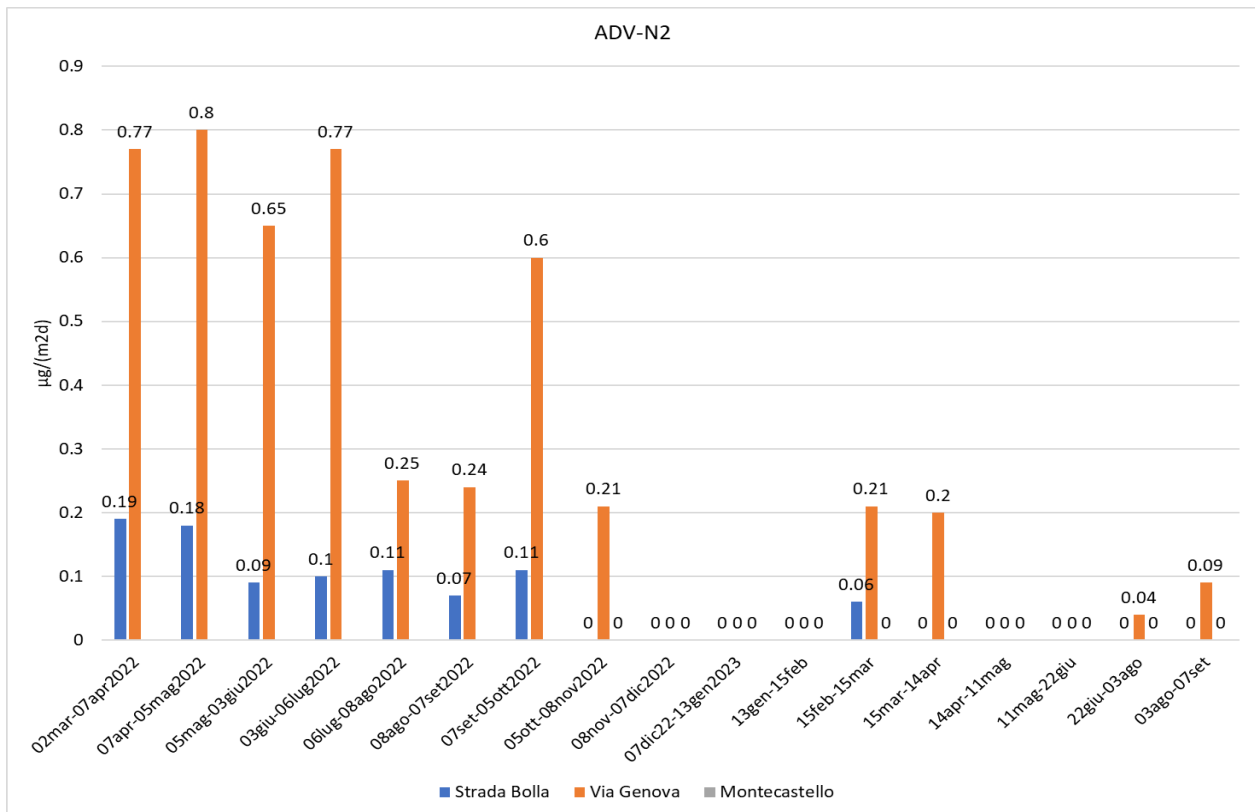


Figura 13- Deposizioni atmosferiche ADV-N2 marzo 2022-agosto 2023 – Postazioni di via Genova, Strada Bolla e Montecastello (quest'ultima da ott-2022)

L'entità delle deposizioni è determinata da un lato dai quantitativi di inquinanti emessi dalle varie sorgenti, dall'altro dalla presenza o meno di condizioni meteo che favoriscono la deposizione degli inquinanti stessi al suolo. Per tale motivo, l'analisi dei dati raccolti deve essere effettuata tenendo conto delle condizioni meteo verificatesi nei periodi di campionamento.

Il costante sviluppo nel tempo del monitoraggio delle deposizioni ha reso disponibile una serie storica di dati di deposizione e meteorologici maggiormente rappresentativa dal punto di vista stagionale e statistico. Ciò ha permesso di avviare una prima analisi volta a valutare la correlazione tra grandezze meteorologiche e deposizione, partendo dalla valutazione delle principali grandezze misurate, rappresentate da precipitazione, umidità e direzione ed intensità dei venti. Al fine di consentire le opportune valutazioni, sono stati presi in esame i dati rilevati dalla stazione meteo in funzione presso la stazione di monitoraggio della qualità dell'aria di via Genova.

Precipitazioni

Uno dei parametri meteo che influenza teoricamente il fenomeno della deposizione è la pioggia. Nella figura seguente sono riportate su uno stesso grafico le deposizioni totali per cC6O4 e ADV nei due siti di campionamento e la pioggia cumulata contemporaneamente rilevata (per il 2022 sono stati utilizzati dati misurati presso la stazione della rete meteo-idrografica Al_Lobbi, dal 2023 i valori rilevati dalla nuova stazione meteo di via Genova)

Le analisi effettuate sono state condotte attraverso l'utilizzo dell'indice di correlazione lineare per ranghi di Spearman, indice non parametrico, che rientra tra le tecniche statistiche cosiddette "robuste", non influenzate dalla presenza di outlier o dati anomali e che non richiedono dati distribuiti in modo gaussiano.

In generale i risultati sembrano dimostrare che la piovosità sia soltanto uno dei fattori che influenzano la deposizione al suolo, la quale si dimostra un fenomeno piuttosto complesso da comprendere e per il quale non si evidenziano correlazioni significative tra i dati come evidenziato nella matrice di correlazione seguente.

Il valore del coefficiente di Spearman può variare tra -1 e 1. In particolare assume i valori estremi quando c'è una relazione perfetta di monotonia tra i dati raccolti per le due variabili: se crescono i primi, allora crescono sempre anche i secondi (in questo caso vale +1) oppure se crescono i primi decrescono sempre i secondi (in questo caso vale -1). Il valore 0 invece indica che i dati non hanno rilevato nessuna forma di tendenza comune.

I valori evidenziati in giallo nella matrice di correlazione seguente, prossimi allo zero, indicano che tra le due variabili non vi è alcuna relazione (p-value <0.001).

Spearman	Strada Bolla_cC6O4	Via Genova_cC6O4	Strada Bolla_ADV-N2	Via Genova_ADV-N2	PIOVOSITA' - (mm)
Strada Bolla_cC6O4		0.65767	0.58367	0.61955	-0.062577
Via Genova_cC6O4	0.65767		0.46537	0.71578	-0.23039
Strada Bolla_ADV-N2	0.58367	0.46537		0.79296	0.05322
Via Genova_ADV-N2	0.61955	0.71578	0.79296		-0.20135
PIOVOSITA' - (mm)	-0.062577	-0.23039	0.05322	-0.20135	

Tabella 4: Matrice di correlazione lineare di Spearman – Postazioni di via Genova, Strada Bolla e piovosità

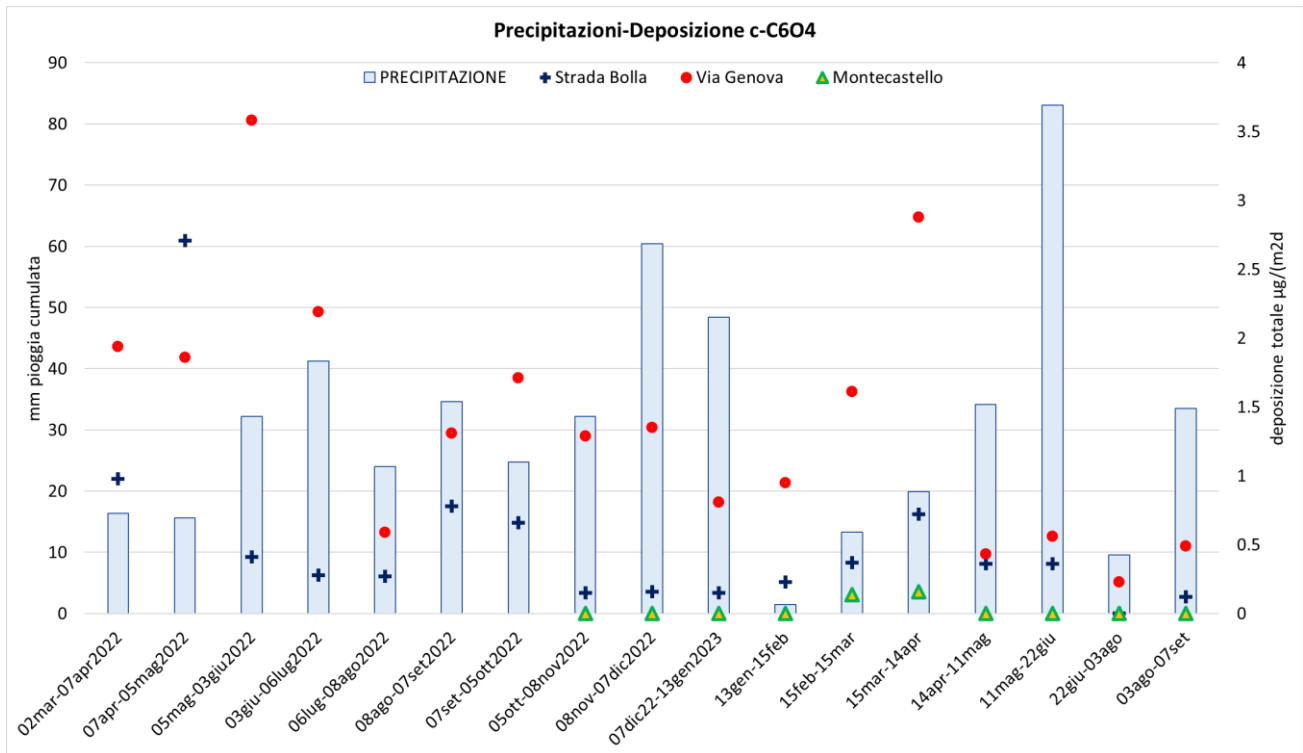


Figura 14- Precipitazioni vs Deposizioni atmosferiche cC6O4 marzo 2022-agosto 2023 – Postazioni di via Genova, Strada Bolla e Montecastello (quest'ultima da ott-2022)

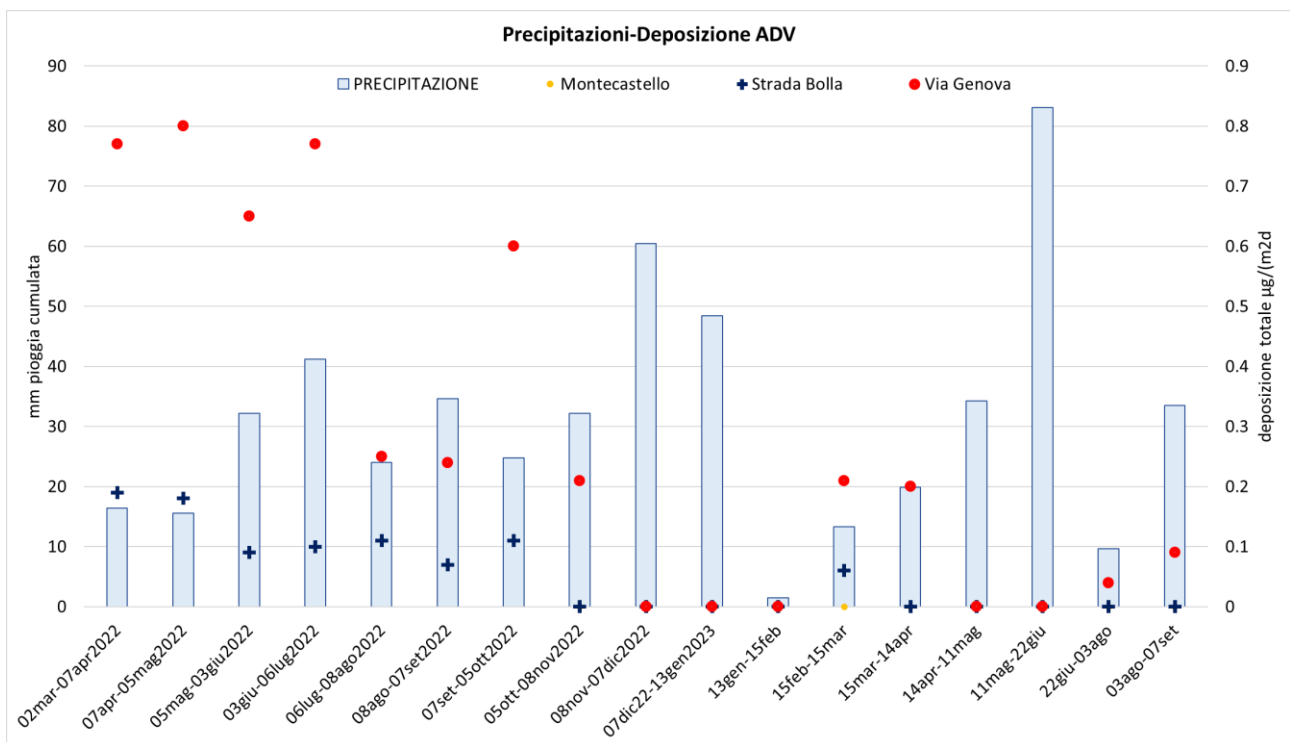


Figura 15- Precipitazioni vs Deposizioni atmosferiche ADV-N2 marzo 2022-agosto 2023 – Postazioni di via Genova, Strada Bolla e Montecastello (quest'ultima da ott-2022)

Umidità

Un altro parametro meteo che potrebbe influenzare il fenomeno della deposizione è l'umidità. Nel grafici sotto riportati sono state evidenziate le deposizioni totali per cC6O4 e ADV nei tre siti di campionamento e l'umidità percentuale rilevata dal 2023 dalla nuova stazione meteo di via Genova.

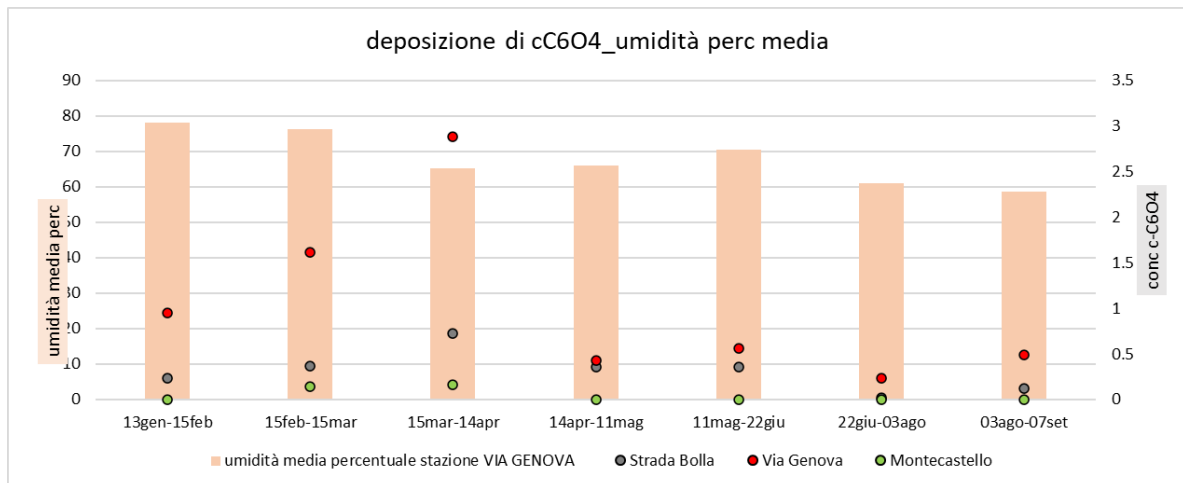


Figura 16- Umidità percentuale vs Deposizioni atmosferiche cC6O4 gennaio-agosto 2023 – Postazioni di via Genova, Strada Bolla e Montecastello

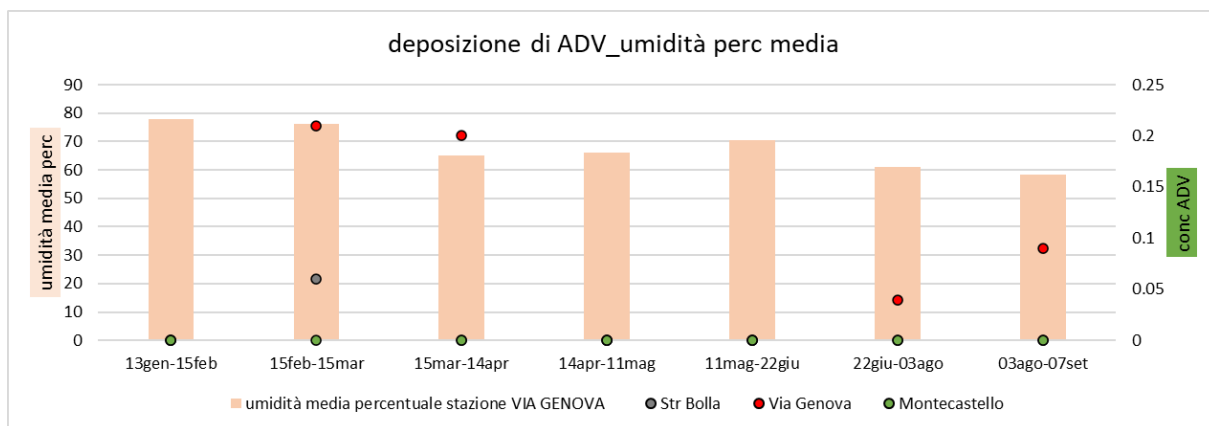


Figura 17- Umidità percentuale vs Deposizioni atmosferiche ADV-N2 gennaio-agosto 2023 – Postazioni di via Genova, Strada Bolla e Montecastello

Le analisi di correlazione dell'umidità con le deposizioni, analogamente alla pioggia, sono state effettuate attraverso l'utilizzo del calcolo di correlazione lineare del rango di Spearman.

La correlazione definisce la relazione tra due variabili e può variare da -1 (perfetta relazione negativa) a 1 (con perfetta relazione positiva), se il valore risulta 0 non c'è nessuna relazione tra le due variabili. Se il valore p-value della correlazione non è inferiore a 0,05, la correlazione non è statisticamente significativa.

Dal calcolo effettuato con R software dell'umidità con le concentrazioni di deposizione non si evidenziano correlazioni significative sia per cC6O4 che per ADV-N2, pertanto anche l'umidità risulta solo uno dei fattori che influenzano la deposizione al suolo:

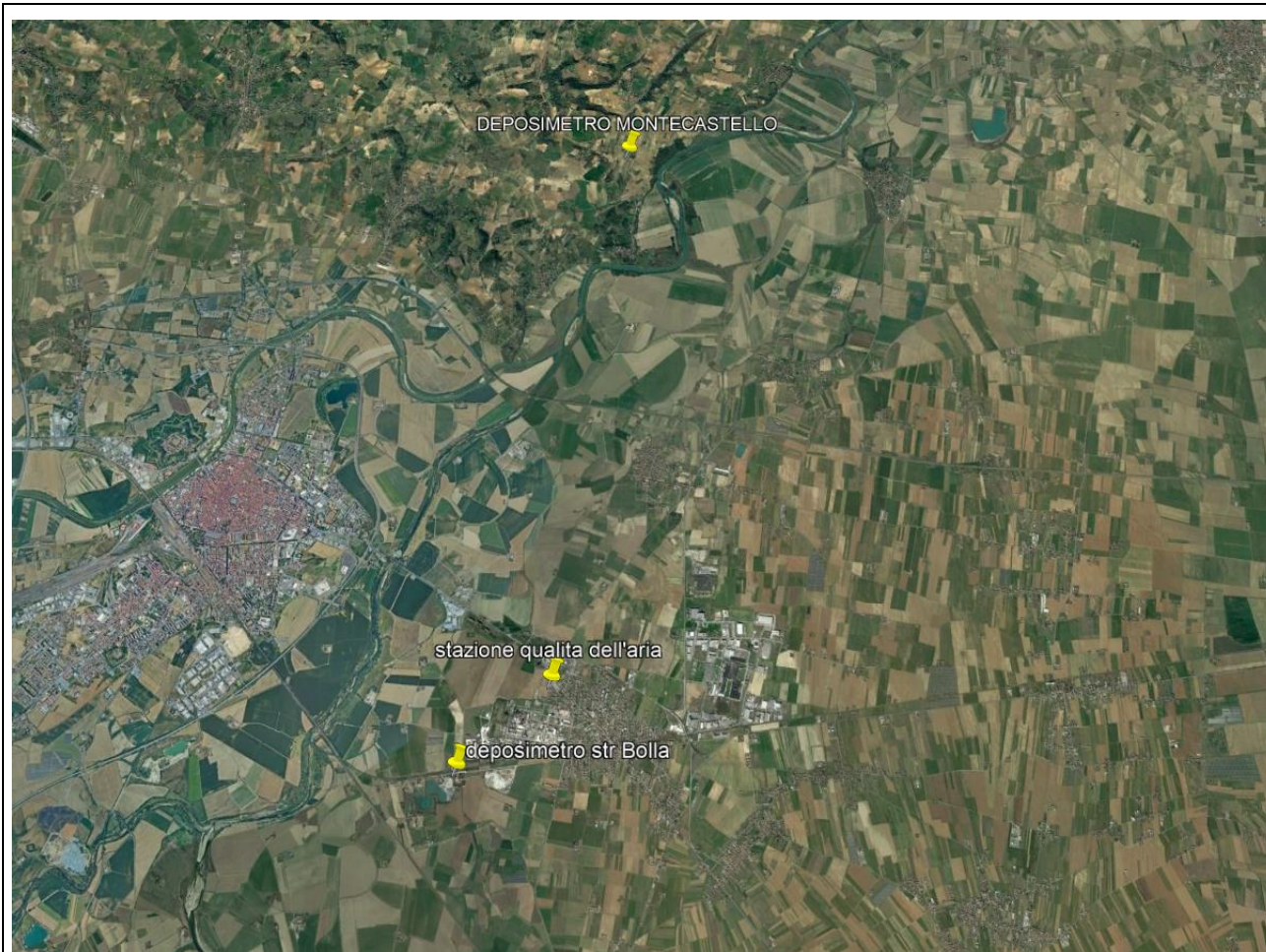
parametro_sito	p-value	Spearman's rank correlation rho
CC604_μg.m2d_via Genova	0.3024	0.4642857
CC604_μg.m2d_Strada.Bolla	0.4026	0.3783937
cc604 μg.m2d _montecastello	0.9049	-0.05613609

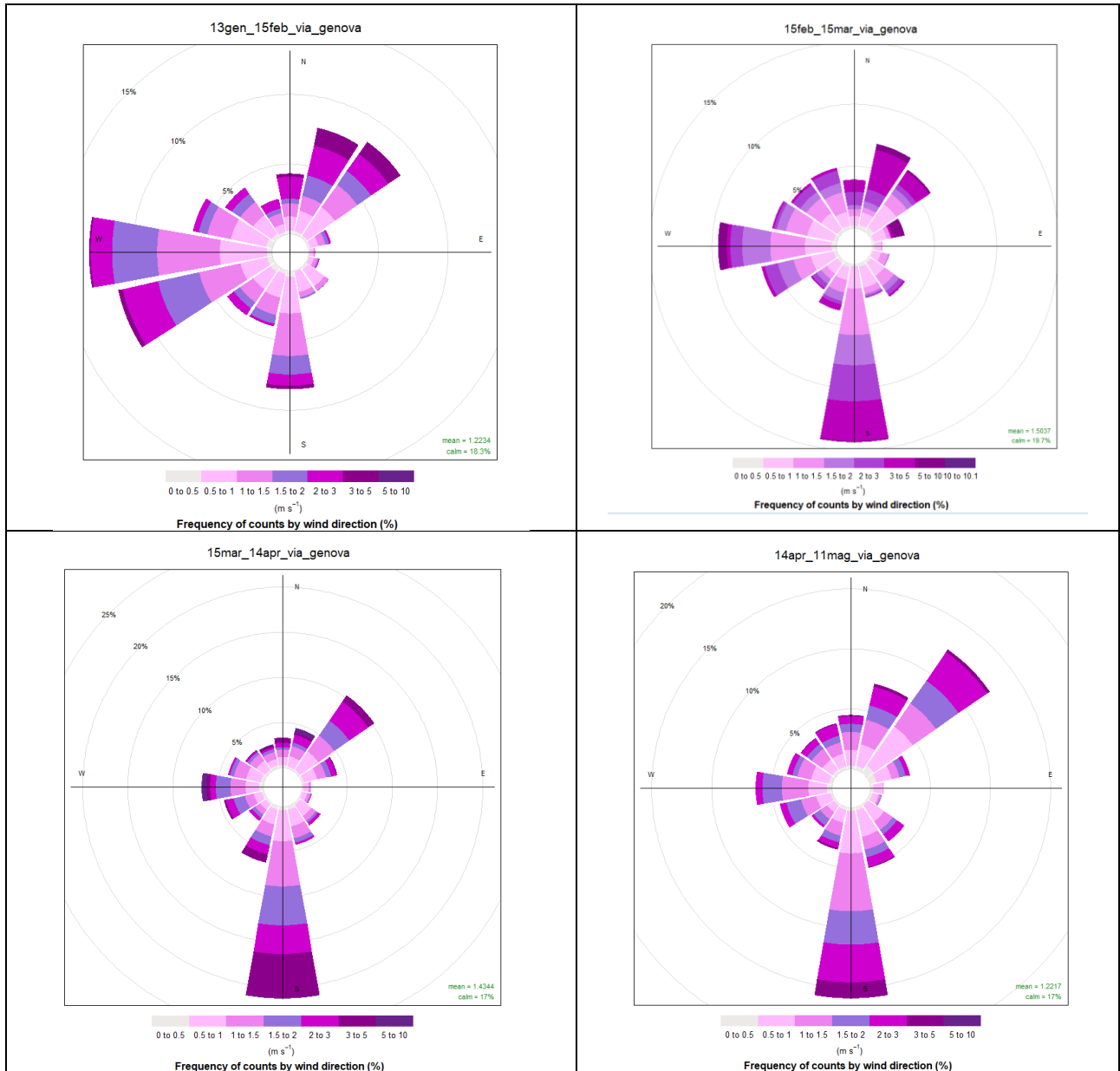
parametro_sito	p-value	Spearman's rank correlation rho
n-ADV.μg.m2d_via Genova	0.8477	0.09009375
n-ADV.μg.m2d_Strada.Bolla	0.542	0.2806804
n-ADV_montecastello	0.5301	-0.2886751

Figura 18- Calcolo della correlazione di lineare di Spearman – Postazioni di via Genova, Strada Bolla e Montecastello e umidità media percentuale.

Venti

Un ulteriore parametro meteo analizzato in riferimento alle deposizioni di cC6O4 e ADV è il vento; di seguito sono state calcolate le rose a partire dal gennaio 2023 per ogni periodo di campionamento, in relazione alle velocità e direzioni rilevate dall'anemometro installato presso la stazione di via Genova.





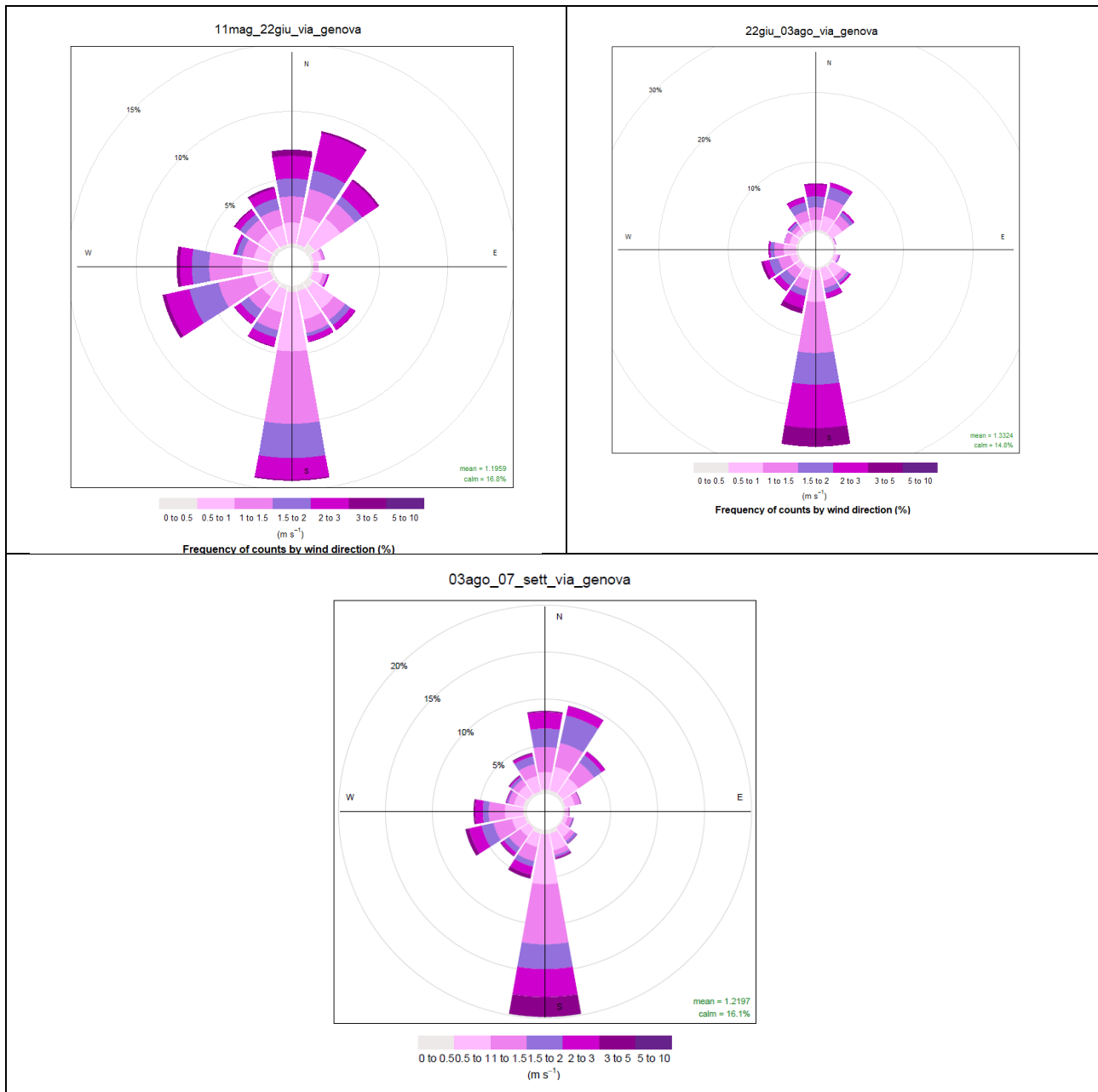


Figura 19- e Postazioni di deposizione di via Genova Strada Bolla e Montecastello e rose dei venti gennaio-agosto stazione qa di via Genova.

Le rose evidenziano direzioni prevalenti da Sud verso Nord (in direzione favorevole alle postazioni di Montecastello e via Genova) e da Nord-Nord Est verso Sud-Sud Ovest con alcune differenze nei periodi 13 gennaio -15 febbraio, e 15 febbraio-14 marzo nella componente W-WSW E-ESE.

Con l'incremento della serie storica registrata dai sensori meteo posti presso la stazione di Via Genova, è stato possibile proseguire ed approfondire l'analisi ed il confronto dei dati rispetto alla stazione della Rete Regionale di Lobbi. Dall'analisi comparativa dei dati del periodo, si evidenzia un numero maggiore di calme di vento (osservazioni con velocità del vento <0.5 m/s) registrate in via Genova rispetto a Lobbi, pari a circa un ordine di grandezza (832 osservazioni registrate in via Genova rispetto alle 55 refistrate in Alessandrai Lobbi). Tale aspetto, rilevante nell'analisi delle correlazioni fra variabili meteorologiche e deposizione registrate, richiederà un'ulteriore

approfondimento anche attraverso la valutazione e l'adeguamento dell'attuale configurazione dei sensori meteo installati presso la cabina Via Genova, con la previsione di innalzamento dell'attuale palo meteo da 5 mt a 10 mt circa, con lo scopo di rimuovere dalla misura anemologica l'errore eventualmente causato da ostacoli (edifici, alberi etc) nei pressi delle cabina.

4. CONCLUSIONI E VALUTAZIONI FINALI

Alla luce dei risultati sopra esposti è possibile evidenziare differenze significative in termini di presenza e di fenomeni di trasporto e deposizione delle molecole PFAS analizzate.

I dati di deposizione di cC_6O_4 registrati, risultano significativamente più elevati di quelli relativi alle deposizioni di ADV e sempre superiori ai LOQ, sia nella stazione di Via Genova, sia di strada Bolla.

Nel nuovo periodo di osservazione (aprile – agosto 2023) non sono state rilevate positività per cC_6O_4 e ADV-N2 sul sito di campionamento di Montecastello, precedentemente interessato da valori positivi nel periodo primaverile.

Nella tabella seguente vengono riassunti i valori medi delle deposizioni dei due parametri rilevati presso i tre punti di misura nel periodo complessivo di osservazione (marzo 2022-agosto 2023).²

PARAMETRI STATISTICI	CC604 $\mu\text{g}/(\text{m}^2\text{d})$			ADV-N2 $\mu\text{g}/(\text{m}^2\text{d})$		
	Strada Bolla	Via Genova	Montecastello	Strada Bolla	Via Genova	Montecastello
N° DATI	17	17	10	17	17	10
MEDIA	0.51	1.39	0.06	0.07	0.29	<0.04

Tabella 5-Deposizioni di PFAS- valori medi periodo di monitoraggio ($\mu\text{g}/(\text{m}^2\text{d})$)

L'analisi finalizzata a valutare l'andamento nel tempo delle deposizioni e la correlazione con le variabili meteorologiche ha confermato la complessità del fenomeno, tenuto anche conto dell'assenza di un quadro di riferimento puntuale sulle emissioni determinate dalle singole sorgenti durante il periodo di osservazione. Gli andamenti dei ratei di deposizione non sempre risultano correlabili in modo diretto con le variabili meteo (in particolare precipitazioni ed umidità). Le rose dei venti osservate per la stazione di via Genova evidenziano direzioni prevalenti Sud_Nord e Nord-Nord Est_ Sud-Sud Ovest, tuttavia l'alto numero di calme di vento riscontrate rispetto alla stazione di Al Lobbi dovrà essere ulteriormente approfondito anche attraverso l'innalzamento del palo meteo da 5 mt a 10 mt circa.

Come già espresso nei precedenti pareri si conferma la necessità di proseguire le attività di monitoraggio presso le postazioni già attive e presso il nuovo punto di Alessandria - Volta installato ad ottobre 2023 e per il quale sono attualmente in corso le analisi del primo mese di osservazione. Arpa è inoltre a disposizione per valutare l'inserimento di ulteriori punti di monitoraggio, da individuarsi anche in raccordo e sinergia con gli altri enti partecipanti al tavolo Ambiente e Salute coordinato dalla Direzione Regionale Sanità.

² Nelle elaborazioni i valori <loq son stati sostituiti con LOQ/2

Allegato 1 Risultati refertati per punto di misura

PUNTO VIA GENOVA

Parametro	Unità di misura	Inferiore al limite	Valore	Valore Txt	dal	al
Acido perfluorobutanoico (PFBA)	µg/(m2d)	<	0.01		02/03/2022	07/04/2022
Acido perfluorobutansolfonico (PFBS)	µg/(m2d)	<	0.01		02/03/2022	07/04/2022
Acido perfluoroesanoico (PFHxA)	µg/(m2d)	<	0.01		02/03/2022	07/04/2022
Acido perfluoro-n-decanoico (PFDA)	µg/(m2d)	<	0.01		02/03/2022	07/04/2022
Acido perfluoro-n-dodecanoico (PFDoA)	µg/(m2d)	<	0.01		02/03/2022	07/04/2022
Acido perfluoro-n-eptanoico (PFHPA)	µg/(m2d)	<	0.01		02/03/2022	07/04/2022
Acido perfluoro-n-nonanoico (PFNA)	µg/(m2d)	<	0.01		02/03/2022	07/04/2022
Acido perfluoro-n-undecanoico (PFUdA)	µg/(m2d)	<	0.01		02/03/2022	07/04/2022
Acido perfluoroottanoico (PFOA)	µg/(m2d)	<	0.01		02/03/2022	07/04/2022
Acido perfluoroottansolfonico (PFOS)	µg/(m2d)	<	0.01		02/03/2022	07/04/2022
Acido perfluoropentanoico (PFPeA)	µg/(m2d)	<	0.01		02/03/2022	07/04/2022
ADV N2	µg/(m2d)	=	0.77		02/03/2022	07/04/2022
cC6O4 (CAS 1190931-41-9)	µg/(m2d)	=	1.94		02/03/2022	07/04/2022
Giorni di raccolta della deposizione	d	=	36		02/03/2022	07/04/2022
Perfluoro-a-esansolfonato di sodio (PFHXS)	µg/(m2d)	<	0.01		02/03/2022	07/04/2022
Perfluoro-1-decansolfonato di sodio (PFDS)	µg/(m2d)	<	0.01		02/03/2022	07/04/2022
Superficie di raccolta della deposizione	m2	=	0.035		02/03/2022	07/04/2022
Volume della deposizione	ml	=	949.3		02/03/2022	07/04/2022
Acido perfluorobutanoico (PFBA)	µg/(m2d)	<	0.01		07/04/2022	05/05/2022
Acido perfluorobutansolfonico (PFBS)	µg/(m2d)	<	0.01		07/04/2022	05/05/2022
Acido perfluoroesanoico (PFHxA)	µg/(m2d)	<	0.01		07/04/2022	05/05/2022
Acido perfluoro-n-decanoico (PFDA)	µg/(m2d)	<	0.01		07/04/2022	05/05/2022
Acido perfluoro-n-dodecanoico (PFDoA)	µg/(m2d)	<	0.01		07/04/2022	05/05/2022
Acido perfluoro-n-eptanoico (PFHPA)	µg/(m2d)	<	0.01		07/04/2022	05/05/2022
Acido perfluoro-n-nonanoico (PFNA)	µg/(m2d)	<	0.01		07/04/2022	05/05/2022
Acido perfluoro-n-undecanoico (PFUdA)	µg/(m2d)	<	0.01		07/04/2022	05/05/2022
Acido perfluoroottanoico (PFOA)	µg/(m2d)	<	0.01		07/04/2022	05/05/2022
Acido perfluoroottansolfonico (PFOS)	µg/(m2d)	<	0.01		07/04/2022	05/05/2022
Acido perfluoropentanoico (PFPeA)	µg/(m2d)	<	0.01		07/04/2022	05/05/2022
Acido perfluoro-2-propossipropanoico (HFPO-DA)	µg/(m2d)	<	0.04		07/04/2022	05/05/2022
ADV N2	µg/(m2d)	=	0.8		07/04/2022	05/05/2022
cC6O4 (CAS 1190931-41-9)	µg/(m2d)	=	1.86		07/04/2022	05/05/2022
Giorni di raccolta della deposizione	d	=	27.8		07/04/2022	05/05/2022
Perfluoro-a-esansolfonato di sodio (PFHXS)	µg/(m2d)	<	0.01		07/04/2022	05/05/2022
Perfluoro-1-decansolfonato di sodio (PFDS)	µg/(m2d)	<	0.01		07/04/2022	05/05/2022
Superficie di raccolta della deposizione	m2	=	0.035		07/04/2022	05/05/2022
Volume della deposizione	ml	=	737.8		07/04/2022	05/05/2022
Acido perfluorobutanoico (PFBA)	µg/(m2d)	=	0.02		05/05/2022	03/06/2022
Acido perfluorobutansolfonico (PFBS)	µg/(m2d)	<	0.01		05/05/2022	03/06/2022

Acido perfluoroesanoico (PFHxA)	µg/(m2d)	<	0.01		05/05/2022	03/06/2022
Acido perfluoroesansolfonico (PFHXS)	µg/(m2d)	<	0.01		05/05/2022	03/06/2022
Acido perfluoro-n-decanoico (PFDA)	µg/(m2d)	<	0.01		05/05/2022	03/06/2022
Acido perfluoro-n-dodecanoico (PFDoA)	µg/(m2d)	<	0.01		05/05/2022	03/06/2022
Acido perfluoro-n-eptanoico (PFHPA)	µg/(m2d)	<	0.01		05/05/2022	03/06/2022
Acido perfluoro-n-nonanoico (PFNA)	µg/(m2d)	<	0.01		05/05/2022	03/06/2022
Acido perfluoro-n-undecanoico (PFUdA)	µg/(m2d)	<	0.01		05/05/2022	03/06/2022
Acido perfluoroottanoico (PFOA)	µg/(m2d)	<	0.01		05/05/2022	03/06/2022
Acido perfluoroottansolfonico (PFOS)	µg/(m2d)	=	0.01		05/05/2022	03/06/2022
Acido perfluoropentanoico (PFPeA)	µg/(m2d)	<	0.01		05/05/2022	03/06/2022
Acido perfluorodecansolfonico (PFDS)	µg/(m2d)	<	0.01		05/05/2022	03/06/2022
Acido perfluoro-2-propossipropanoico (HFPO-DA)	µg/(m2d)	<	0.04		05/05/2022	03/06/2022
ADV N2	µg/(m2d)	=	0.65		05/05/2022	03/06/2022
cC6O4 (CAS 1190931-41-9)	µg/(m2d)	=	3.58		05/05/2022	03/06/2022
Giorni di raccolta della deposizione	d	=	29		05/05/2022	03/06/2022
Superficie di raccolta della deposizione	m2	=	0.035		05/05/2022	03/06/2022
Volume della deposizione	ml	=	784.1		05/05/2022	03/06/2022
Acido perfluorobutanoico (PFBA)	µg/(m2d)	<	0.01		03/06/2022	06/07/2022
Acido perfluorobutansolfonico (PFBS)	µg/(m2d)	<	0.01		03/06/2022	06/07/2022
Acido perfluoroesanoico (PFHxA)	µg/(m2d)	<	0.01		03/06/2022	06/07/2022
Acido perfluoroesansolfonico (PFHXS)	µg/(m2d)	<	0.01		03/06/2022	06/07/2022
Acido perfluoro-n-decanoico (PFDA)	µg/(m2d)	<	0.01		03/06/2022	06/07/2022
Acido perfluoro-n-dodecanoico (PFDoA)	µg/(m2d)	<	0.01		03/06/2022	06/07/2022
Acido perfluoro-n-eptanoico (PFHPA)	µg/(m2d)	<	0.01		03/06/2022	06/07/2022
Acido perfluoro-n-nonanoico (PFNA)	µg/(m2d)	<	0.01		03/06/2022	06/07/2022
Acido perfluoro-n-undecanoico (PFUdA)	µg/(m2d)	<	0.01		03/06/2022	06/07/2022
Acido perfluoroottanoico (PFOA)	µg/(m2d)	=	0.02		03/06/2022	06/07/2022
Acido perfluoroottansolfonico (PFOS)	µg/(m2d)	<	0.01		03/06/2022	06/07/2022
Acido perfluoropentanoico (PFPeA)	µg/(m2d)	<	0.01		03/06/2022	06/07/2022
Acido perfluorodecansolfonico (PFDS)	µg/(m2d)	<	0.01		03/06/2022	06/07/2022
Acido perfluoro-2-propossipropanoico (HFPO-DA)	µg/(m2d)	<	0.04		03/06/2022	06/07/2022
ADV N2	µg/(m2d)	=	0.77		03/06/2022	06/07/2022
cC6O4 (CAS 1190931-41-9)	µg/(m2d)	=	2.19		03/06/2022	06/07/2022
Giorni di raccolta della deposizione	d	=	33		03/06/2022	06/07/2022
Superficie di raccolta della deposizione	m2	=	0.035		03/06/2022	06/07/2022
Volume della deposizione	ml	=	1628		03/06/2022	06/07/2022
Acido perfluorobutanoico (PFBA)	µg/(m2d)	<	0.01		06/07/2022	08/08/2022
Acido perfluorobutansolfonico (PFBS)	µg/(m2d)	<	0.01		06/07/2022	08/08/2022
Acido perfluoroesanoico (PFHxA)	µg/(m2d)	<	0.01		06/07/2022	08/08/2022
Acido perfluoroesansolfonico (PFHXS)	µg/(m2d)	<	0.01		06/07/2022	08/08/2022
Acido perfluoro-n-decanoico (PFDA)	µg/(m2d)	<	0.01		06/07/2022	08/08/2022
Acido perfluoro-n-dodecanoico (PFDoA)	µg/(m2d)	<	0.01		06/07/2022	08/08/2022
Acido perfluoro-n-eptanoico (PFHPA)	µg/(m2d)	<	0.01		06/07/2022	08/08/2022
Acido perfluoro-n-nonanoico (PFNA)	µg/(m2d)	<	0.01		06/07/2022	08/08/2022

Acido perfluoro-n-undecanoico (PFUDA)	µg/(m2d)	<	0.01		06/07/2022	08/08/2022
Acido perfluoroottanoico (PFOA)	µg/(m2d)	<	0.01		06/07/2022	08/08/2022
Acido perfluoroottansolfonico (PFOS)	µg/(m2d)	<	0.01		06/07/2022	08/08/2022
Acido perfluoropentanoico (PFPeA)	µg/(m2d)	<	0.01		06/07/2022	08/08/2022
Acido perfluorodecansolfonico (PFDS)	µg/(m2d)	<	0.01		06/07/2022	08/08/2022
Acido perfluoro-2-propossipropanoico (HFPO-DA)	µg/(m2d)	Non Previsto		ND	06/07/2022	08/08/2022
ADV N2	µg/(m2d)	=	0.25		06/07/2022	08/08/2022
cC6O4 (CAS 1190931-41-9)	µg/(m2d)	=	0.59		06/07/2022	08/08/2022
Giorni di raccolta della deposizione	d	=	33.1		06/07/2022	08/08/2022
Superficie di raccolta della deposizione	m2	=	0.035		06/07/2022	08/08/2022
Volume della deposizione	ml	=	1594		06/07/2022	08/08/2022
Acido perfluorobutanoico (PFBA)	µg/(m2d)	<	0.01		08/08/2022	07/09/2022
Acido perfluorobutansolfonico (PFBS)	µg/(m2d)	<	0.01		08/08/2022	07/09/2022
Acido perfluoroesanoico (PFHxA)	µg/(m2d)	<	0.01		08/08/2022	07/09/2022
Acido perfluoroesansolfonico (PFHXS)	µg/(m2d)	<	0.01		08/08/2022	07/09/2022
Acido perfluoro-n-decanoico (PFDA)	µg/(m2d)	<	0.01		08/08/2022	07/09/2022
Acido perfluoro-n-dodecanoico (PFDoA)	µg/(m2d)	<	0.01		08/08/2022	07/09/2022
Acido perfluoro-n-eptanoico (PFHPA)	µg/(m2d)	<	0.01		08/08/2022	07/09/2022
Acido perfluoro-n-nonanoico (PFNA)	µg/(m2d)	<	0.01		08/08/2022	07/09/2022
Acido perfluoro-n-undecanoico (PFUDA)	µg/(m2d)	<	0.01		08/08/2022	07/09/2022
Acido perfluoroottanoico (PFOA)	µg/(m2d)	<	0.01		08/08/2022	07/09/2022
Acido perfluoroottansolfonico (PFOS)	µg/(m2d)	<	0.01		08/08/2022	07/09/2022
Acido perfluoropentanoico (PFPeA)	µg/(m2d)	<	0.01		08/08/2022	07/09/2022
Acido perfluorodecansolfonico (PFDS)	µg/(m2d)	<	0.01		08/08/2022	07/09/2022
Acido perfluoro-2-propossipropanoico (HFPO-DA)	µg/(m2d)	Non Previsto		ND	08/08/2022	07/09/2022
ADV N2	µg/(m2d)	=	0.24		08/08/2022	07/09/2022
cC6O4 (CAS 1190931-41-9)	µg/(m2d)	=	1.31		08/08/2022	07/09/2022
Giorni di raccolta della deposizione	d	=	30		08/08/2022	07/09/2022
Superficie di raccolta della deposizione	m2	=	0.035		08/08/2022	07/09/2022
Volume della deposizione	ml	=	1154		08/08/2022	07/09/2022
Acido perfluorobutanoico (PFBA)	µg/(m2d)	<	0.02		07/09/2022	05/10/2022
Acido perfluorobutansolfonico (PFBS)	µg/(m2d)	<	0.02		07/09/2022	05/10/2022
Acido perfluoroesanoico (PFHxA)	µg/(m2d)	<	0.02		07/09/2022	05/10/2022
Acido perfluoroesansolfonico (PFHXS)	µg/(m2d)	<	0.02		07/09/2022	05/10/2022
Acido perfluoro-n-decanoico (PFDA)	µg/(m2d)	<	0.02		07/09/2022	05/10/2022
Acido perfluoro-n-dodecanoico (PFDoA)	µg/(m2d)	<	0.02		07/09/2022	05/10/2022
Acido perfluoro-n-eptanoico (PFHPA)	µg/(m2d)	<	0.02		07/09/2022	05/10/2022
Acido perfluoro-n-nonanoico (PFNA)	µg/(m2d)	<	0.02		07/09/2022	05/10/2022
Acido perfluoro-n-undecanoico (PFUDA)	µg/(m2d)	<	0.02		07/09/2022	05/10/2022
Acido perfluoroottanoico (PFOA)	µg/(m2d)	<	0.02		07/09/2022	05/10/2022
Acido perfluoroottansolfonico (PFOS)	µg/(m2d)	<	0.02		07/09/2022	05/10/2022
Acido perfluoropentanoico (PFPeA)	µg/(m2d)	<	0.02		07/09/2022	05/10/2022
Acido perfluorodecansolfonico (PFDS)	µg/(m2d)	<	0.02		07/09/2022	05/10/2022
ADV N2	µg/(m2d)	=	0.6		07/09/2022	05/10/2022

cC6O4 (CAS 1190931-41-9)	µg/(m2d)	=	1.71		07/09/2022	05/10/2022
Acido perfluorobutanoico (PFBA)	µg/(m2d)	=	0.09		05/10/2022	08/11/2022
Acido perfluorobutansolfonico (PFBS)	µg/(m2d)	<	0.02		05/10/2022	08/11/2022
Acido perfluoroesanoico (PFHxA)	µg/(m2d)	<	0.02		05/10/2022	08/11/2022
Acido perfluoroesansolfonico (PFHXS)	µg/(m2d)	<	0.02		05/10/2022	08/11/2022
Acido perfluoro-n-decanoico (PFDA)	µg/(m2d)	<	0.02		05/10/2022	08/11/2022
Acido perfluoro-n-dodecanoico (PFDoA)	µg/(m2d)	<	0.02		05/10/2022	08/11/2022
Acido perfluoro-n-eptanoico (PFHPA)	µg/(m2d)	<	0.02		05/10/2022	08/11/2022
Acido perfluoro-n-nonanoico (PFNA)	µg/(m2d)	<	0.02		05/10/2022	08/11/2022
Acido perfluoro-n-undecanoico (PFUdA)	µg/(m2d)	<	0.02		05/10/2022	08/11/2022
Acido perfluoroottanoico (PFOA)	µg/(m2d)	=	0.02		05/10/2022	08/11/2022
Acido perfluoroottansolfonico (PFOS)	µg/(m2d)	<	0.02		05/10/2022	08/11/2022
Acido perfluoropentanoico (PFPeA)	µg/(m2d)	<	0.02		05/10/2022	08/11/2022
Acido perfluorodecansolfonico (PFDS)	µg/(m2d)	<	0.02		05/10/2022	08/11/2022
Acido perfluoro-2-propossipropanoico (HFPO-DA)	µg/(m2d)	<	0.04		05/10/2022	08/11/2022
ADV N2	µg/(m2d)	=	0.21		05/10/2022	08/11/2022
cC6O4 (CAS 1190931-41-9)	µg/(m2d)	=	1.29		05/10/2022	08/11/2022
Acido perfluorobutanoico (PFBA)	µg/(m2d)	<	0.04		08/11/2022	07/12/2022
Acido perfluorobutansolfonico (PFBS)	µg/(m2d)	<	0.04		08/11/2022	07/12/2022
Acido perfluoroesanoico (PFHxA)	µg/(m2d)	<	0.04		08/11/2022	07/12/2022
Acido perfluoroesansolfonico (PFHXS)	µg/(m2d)	<	0.04		08/11/2022	07/12/2022
Acido perfluoro-n-decanoico (PFDA)	µg/(m2d)	<	0.04		08/11/2022	07/12/2022
Acido perfluoro-n-dodecanoico (PFDoA)	µg/(m2d)	<	0.04		08/11/2022	07/12/2022
Acido perfluoro-n-eptanoico (PFHPA)	µg/(m2d)	<	0.04		08/11/2022	07/12/2022
Acido perfluoro-n-nonanoico (PFNA)	µg/(m2d)	<	0.04		08/11/2022	07/12/2022
Acido perfluoro-n-undecanoico (PFUdA)	µg/(m2d)	<	0.04		08/11/2022	07/12/2022
Acido perfluoroottanoico (PFOA)	µg/(m2d)	<	0.04		08/11/2022	07/12/2022
Acido perfluoroottansolfonico (PFOS)	µg/(m2d)	<	0.04		08/11/2022	07/12/2022
Acido perfluoropentanoico (PFPeA)	µg/(m2d)	<	0.04		08/11/2022	07/12/2022
Acido perfluorodecansolfonico (PFDS)	µg/(m2d)	<	0.04		08/11/2022	07/12/2022
Acido perfluoro-2-propossipropanoico (HFPO-DA)	µg/(m2d)	<	0.16		08/11/2022	07/12/2022
ADV N2	µg/(m2d)	<	0.16		08/11/2022	07/12/2022
cC6O4 (CAS 1190931-41-9)	µg/(m2d)	=	1.35		08/11/2022	07/12/2022
Acido perfluorobutanoico (PFBA)	µg/(m2d)	<	0.02		07/12/2022	13/01/2023
Acido perfluorobutansolfonico (PFBS)	µg/(m2d)	<	0.02		07/12/2022	13/01/2023
Acido perfluoroesanoico (PFHxA)	µg/(m2d)	<	0.02		07/12/2022	13/01/2023
Acido perfluoroesansolfonico (PFHXS)	µg/(m2d)	<	0.02		07/12/2022	13/01/2023
Acido perfluoro-n-decanoico (PFDA)	µg/(m2d)	<	0.02		07/12/2022	13/01/2023
Acido perfluoro-n-dodecanoico (PFDoA)	µg/(m2d)	<	0.02		07/12/2022	13/01/2023
Acido perfluoro-n-eptanoico (PFHPA)	µg/(m2d)	<	0.02		07/12/2022	13/01/2023
Acido perfluoro-n-nonanoico (PFNA)	µg/(m2d)	<	0.02		07/12/2022	13/01/2023
Acido perfluoro-n-undecanoico (PFUdA)	µg/(m2d)	<	0.02		07/12/2022	13/01/2023
Acido perfluoroottanoico (PFOA)	µg/(m2d)	<	0.02		07/12/2022	13/01/2023
Acido perfluoroottansolfonico (PFOS)	µg/(m2d)	<	0.02		07/12/2022	13/01/2023

Acido perfluoropentanoico (PFPeA)	µg/(m2d)	<	0.02		07/12/2022	13/01/2023
Acido perfluorodecansolfonico (PFDS)	µg/(m2d)	<	0.02		07/12/2022	13/01/2023
Acido perfluoro-2-propossipropanoico (HFPO-DA)	µg/(m2d)	<	0.08		07/12/2022	13/01/2023
ADV N2	µg/(m2d)	<	0.08		07/12/2022	13/01/2023
cC6O4 (CAS 1190931-41-9)	µg/(m2d)	=	0.81		07/12/2022	13/01/2023
Acido perfluorobutanoico (PFBA)	µg/(m2d)	Non Previsto		ND	13/01/2023	15/02/2023
Acido perfluorobutansolfonico (PFBS)	µg/(m2d)	<	0.01		13/01/2023	15/02/2023
Acido perfluoroesanoico (PFHxA)	µg/(m2d)	<	0.01		13/01/2023	15/02/2023
Acido perfluoroesansolfonico (PFHXS)	µg/(m2d)	<	0.01		13/01/2023	15/02/2023
Acido perfluoro-n-decanoico (PFDA)	µg/(m2d)	<	0.01		13/01/2023	15/02/2023
Acido perfluoro-n-dodecanoico (PFDoA)	µg/(m2d)	<	0.01		13/01/2023	15/02/2023
Acido perfluoro-n-eptanoico (PFHPA)	µg/(m2d)	<	0.01		13/01/2023	15/02/2023
Acido perfluoro-n-nonanoico (PFNA)	µg/(m2d)	<	0.01		13/01/2023	15/02/2023
Acido perfluoro-n-undecanoico (PFUdA)	µg/(m2d)	<	0.01		13/01/2023	15/02/2023
Acido perfluorooctanoico (PFOA)	µg/(m2d)	<	0.01		13/01/2023	15/02/2023
Acido perfluorooctansolfonico (PFOS)	µg/(m2d)	<	0.01		13/01/2023	15/02/2023
Acido perfluoropentanoico (PFPeA)	µg/(m2d)	<	0.01		13/01/2023	15/02/2023
Acido perfluorodecansolfonico (PFDS)	µg/(m2d)	<	0.01		13/01/2023	15/02/2023
Acido perfluoro-2-propossipropanoico (HFPO-DA)	µg/(m2d)	<	0.04		13/01/2023	15/02/2023
ADV N2	µg/(m2d)	<	0.04		13/01/2023	15/02/2023
cC6O4 (CAS 1190931-41-9)	µg/(m2d)	=	0.95		13/01/2023	15/02/2023
Acido perfluorobutanoico (PFBA)	µg/(m2d)	Non Previsto		ND	15/02/2023	15/03/2023
Acido perfluorobutansolfonico (PFBS)	µg/(m2d)	<	0.01		15/02/2023	15/03/2023
Acido perfluoroesanoico (PFHxA)	µg/(m2d)	<	0.01		15/02/2023	15/03/2023
Acido perfluoroesansolfonico (PFHXS)	µg/(m2d)	<	0.01		15/02/2023	15/03/2023
Acido perfluoro-n-decanoico (PFDA)	µg/(m2d)	<	0.01		15/02/2023	15/03/2023
Acido perfluoro-n-dodecanoico (PFDoA)	µg/(m2d)	<	0.01		15/02/2023	15/03/2023
Acido perfluoro-n-eptanoico (PFHPA)	µg/(m2d)	<	0.01		15/02/2023	15/03/2023
Acido perfluoro-n-nonanoico (PFNA)	µg/(m2d)	<	0.01		15/02/2023	15/03/2023
Acido perfluoro-n-undecanoico (PFUdA)	µg/(m2d)	<	0.01		15/02/2023	15/03/2023
Acido perfluorooctanoico (PFOA)	µg/(m2d)	<	0.01		15/02/2023	15/03/2023
Acido perfluorooctansolfonico (PFOS)	µg/(m2d)	<	0.01		15/02/2023	15/03/2023
Acido perfluoropentanoico (PFPeA)	µg/(m2d)	<	0.01		15/02/2023	15/03/2023
Acido perfluorodecansolfonico (PFDS)	µg/(m2d)	<	0.01		15/02/2023	15/03/2023
Acido perfluoro-2-propossipropanoico (HFPO-DA)	µg/(m2d)	<	0.04		15/02/2023	15/03/2023
ADV N2	µg/(m2d)	=	0.21		15/02/2023	15/03/2023
cC6O4 (CAS 1190931-41-9)	µg/(m2d)	=	1.61		15/02/2023	15/03/2023
Acido perfluorobutanoico (PFBA)	µg/(m2d)	<	0.01		15/03/2023	14/04/2023
Acido perfluorobutansolfonico (PFBS)	µg/(m2d)	<	0.01		15/03/2023	14/04/2023
Acido perfluoroesanoico (PFHxA)	µg/(m2d)	<	0.01		15/03/2023	14/04/2023
Acido perfluoroesansolfonico (PFHXS)	µg/(m2d)	<	0.01		15/03/2023	14/04/2023
Acido perfluoro-n-decanoico (PFDA)	µg/(m2d)	<	0.01		15/03/2023	14/04/2023
Acido perfluoro-n-dodecanoico (PFDoA)	µg/(m2d)	<	0.01		15/03/2023	14/04/2023
Acido perfluoro-n-eptanoico (PFHPA)	µg/(m2d)	<	0.01		15/03/2023	14/04/2023

Acido perfluoro-n-nonanoico (PFNA)	µg/(m2d)	<	0.01		15/03/2023	14/04/2023
Acido perfluoro-n-undecanoico (PFUdA)	µg/(m2d)	<	0.01		15/03/2023	14/04/2023
Acido perfluorooctanoico (PFOA)	µg/(m2d)	<	0.01		15/03/2023	14/04/2023
Acido perfluorooctansolfonico (PFOS)	µg/(m2d)	<	0.01		15/03/2023	14/04/2023
Acido perfluoropentanoico (PFPeA)	µg/(m2d)	<	0.01		15/03/2023	14/04/2023
Acido perfluorodecansolfonico (PFDS)	µg/(m2d)	<	0.01		15/03/2023	14/04/2023
Acido perfluoro-2-propossipropanoico (HFPO-DA)	µg/(m2d)	Non Previsto	ND		15/03/2023	14/04/2023
ADV N2	µg/(m2d)	=	0.2		15/03/2023	14/04/2023
cC6O4 (CAS 1190931-41-9)	µg/(m2d)	=	2.88		15/03/2023	14/04/2023
Acido perfluorobutanoico (PFBA)	µg/(m2d)	<	0.02		14/04/2023	11/05/2023
Acido perfluorobutansolfonico (PFBS)	µg/(m2d)	<	0.02		14/04/2023	11/05/2023
Acido perfluoroesanoico (PFHxA)	µg/(m2d)	<	0.02		14/04/2023	11/05/2023
Acido perfluoroesansolfonico (PFHXS)	µg/(m2d)	<	0.02		14/04/2023	11/05/2023
Acido perfluoro-n-decanoico (PFDA)	µg/(m2d)	<	0.02		14/04/2023	11/05/2023
Acido perfluoro-n-dodecanoico (PFDoA)	µg/(m2d)	<	0.02		14/04/2023	11/05/2023
Acido perfluoro-n-eptanoico (PFHPA)	µg/(m2d)	<	0.02		14/04/2023	11/05/2023
Acido perfluoro-n-nonanoico (PFNA)	µg/(m2d)	<	0.02		14/04/2023	11/05/2023
Acido perfluoro-n-undecanoico (PFUdA)	µg/(m2d)	<	0.02		14/04/2023	11/05/2023
Acido perfluorooctanoico (PFOA)	µg/(m2d)	<	0.02		14/04/2023	11/05/2023
Acido perfluorooctansolfonico (PFOS)	µg/(m2d)	<	0.02		14/04/2023	11/05/2023
Acido perfluoropentanoico (PFPeA)	µg/(m2d)	<	0.02		14/04/2023	11/05/2023
Acido perfluorodecansolfonico (PFDS)	µg/(m2d)	<	0.02		14/04/2023	11/05/2023
Acido perfluoro-2-propossipropanoico (HFPO-DA)	µg/(m2d)	Non Previsto	ND		14/04/2023	11/05/2023
ADV N2	µg/(m2d)	<	0.06		14/04/2023	11/05/2023
cC6O4 (CAS 1190931-41-9)	µg/(m2d)	=	0.43		14/04/2023	11/05/2023
Acido perfluorobutanoico (PFBA)	µg/(m2d)	<	0.03		11/05/2023	22/06/2023
Acido perfluorobutansolfonico (PFBS)	µg/(m2d)	<	0.03		11/05/2023	22/06/2023
Acido perfluoroesanoico (PFHxA)	µg/(m2d)	<	0.03		11/05/2023	22/06/2023
Acido perfluoroesansolfonico (PFHXS)	µg/(m2d)	<	0.03		11/05/2023	22/06/2023
Acido perfluoro-n-decanoico (PFDA)	µg/(m2d)	<	0.03		11/05/2023	22/06/2023
Acido perfluoro-n-dodecanoico (PFDoA)	µg/(m2d)	<	0.03		11/05/2023	22/06/2023
Acido perfluoro-n-eptanoico (PFHPA)	µg/(m2d)	<	0.03		11/05/2023	22/06/2023
Acido perfluoro-n-nonanoico (PFNA)	µg/(m2d)	<	0.03		11/05/2023	22/06/2023
Acido perfluoro-n-undecanoico (PFUdA)	µg/(m2d)	<	0.03		11/05/2023	22/06/2023
Acido perfluorooctanoico (PFOA)	µg/(m2d)	<	0.03		11/05/2023	22/06/2023
Acido perfluorooctansolfonico (PFOS)	µg/(m2d)	<	0.03		11/05/2023	22/06/2023
Acido perfluoropentanoico (PFPeA)	µg/(m2d)	<	0.03		11/05/2023	22/06/2023
Acido perfluorodecansolfonico (PFDS)	µg/(m2d)	<	0.03		11/05/2023	22/06/2023
Acido perfluoro-2-propossipropanoico (HFPO-DA)	µg/(m2d)	<	0.12		11/05/2023	22/06/2023
ADV N2	µg/(m2d)	<	0.12		11/05/2023	22/06/2023
cC6O4 (CAS 1190931-41-9)	µg/(m2d)	=	0.56		11/05/2023	22/06/2023
Acido perfluorobutanoico (PFBA)	µg/(m2d)	<	0.01		22/06/2023	03/08/2023
Acido perfluorobutansolfonico (PFBS)	µg/(m2d)	<	0.01		22/06/2023	03/08/2023
Acido perfluoroesanoico (PFHxA)	µg/(m2d)	<	0.01		22/06/2023	03/08/2023

Acido perfluoroesansolfonico (PFHXS)	µg/(m2d)	<	0.01		22/06/2023	03/08/2023
Acido perfluoro-n-decanoico (PFDA)	µg/(m2d)	<	0.01		22/06/2023	03/08/2023
Acido perfluoro-n-dodecanoico (PFDoA)	µg/(m2d)	<	0.01		22/06/2023	03/08/2023
Acido perfluoro-n-eptanoico (PFHPA)	µg/(m2d)	<	0.01		22/06/2023	03/08/2023
Acido perfluoro-n-nonanoico (PFNA)	µg/(m2d)	<	0.01		22/06/2023	03/08/2023
Acido perfluoro-n-undecanoico (PFUdA)	µg/(m2d)	<	0.01		22/06/2023	03/08/2023
Acido perfluorooctanoico (PFOA)	µg/(m2d)	<	0.01		22/06/2023	03/08/2023
Acido perfluorooctansolfonico (PFOS)	µg/(m2d)	<	0.01		22/06/2023	03/08/2023
Acido perfluoropentanoico (PFPeA)	µg/(m2d)	<	0.01		22/06/2023	03/08/2023
Acido perfluorodecansolfonico (PFDS)	µg/(m2d)	<	0.01		22/06/2023	03/08/2023
Acido perfluoro-2-propossipropanoico (HFPO-DA)	µg/(m2d)	<	0.04		22/06/2023	03/08/2023
ADV N2	µg/(m2d)	=	0.04		22/06/2023	03/08/2023
cC6O4 (CAS 1190931-41-9)	µg/(m2d)	=	0.23		22/06/2023	03/08/2023
Acido perfluorobutanoico (PFBA)	µg/(m2d)	<	0.02		03/08/2023	07/09/2023
Acido perfluorobutansolfonico (PFBS)	µg/(m2d)	<	0.02		03/08/2023	07/09/2023
Acido perfluoroesanoico (PFHxA)	µg/(m2d)	<	0.02		03/08/2023	07/09/2023
Acido perfluoroesansolfonico (PFHXS)	µg/(m2d)	<	0.02		03/08/2023	07/09/2023
Acido perfluoro-n-decanoico (PFDA)	µg/(m2d)	<	0.02		03/08/2023	07/09/2023
Acido perfluoro-n-dodecanoico (PFDoA)	µg/(m2d)	<	0.02		03/08/2023	07/09/2023
Acido perfluoro-n-eptanoico (PFHPA)	µg/(m2d)	<	0.02		03/08/2023	07/09/2023
Acido perfluoro-n-nonanoico (PFNA)	µg/(m2d)	<	0.02		03/08/2023	07/09/2023
Acido perfluoro-n-undecanoico (PFUdA)	µg/(m2d)	<	0.02		03/08/2023	07/09/2023
Acido perfluorooctanoico (PFOA)	µg/(m2d)	<	0.02		03/08/2023	07/09/2023
Acido perfluorooctansolfonico (PFOS)	µg/(m2d)	<	0.02		03/08/2023	07/09/2023
Acido perfluoropentanoico (PFPeA)	µg/(m2d)	<	0.02		03/08/2023	07/09/2023
Acido perfluorodecansolfonico (PFDS)	µg/(m2d)	<	0.02		03/08/2023	07/09/2023
Acido perfluoro-2-propossipropanoico (HFPO-DA)	µg/(m2d)	<	0.07		03/08/2023	07/09/2023
ADV N2	µg/(m2d)	=	0.09		03/08/2023	07/09/2023
cC6O4 (CAS 1190931-41-9)	µg/(m2d)	=	0.49		03/08/2023	07/09/2023

PUNTO STRADA BOLLA

Parametro	Unità di misura	Inferiore al limite	Valore	Valore e Txt	dal	al
Acido perfluorobutanoico (PFBA)	µg/(m2d)	<	0.01		02/03/2022	07/04/2022
Acido perfluorobutansolfonico (PFBS)	µg/(m2d)	<	0.01		02/03/2022	07/04/2022
Acido perfluoroesanoico (PFHxA)	µg/(m2d)	<	0.01		02/03/2022	07/04/2022
Acido perfluoro-n-decanoico (PFDA)	µg/(m2d)	<	0.01		02/03/2022	07/04/2022
Acido perfluoro-n-dodecanoico (PFDoA)	µg/(m2d)	<	0.01		02/03/2022	07/04/2022
Acido perfluoro-n-eptanoico (PFHPA)	µg/(m2d)	<	0.01		02/03/2022	07/04/2022
Acido perfluoro-n-nonanoico (PFNA)	µg/(m2d)	<	0.01		02/03/2022	07/04/2022
Acido perfluoro-n-undecanoico (PFUdA)	µg/(m2d)	<	0.01		02/03/2022	07/04/2022
Acido perfluorooottanoico (PFOA)	µg/(m2d)	<	0.01		02/03/2022	07/04/2022
Acido perfluorooottansolfonico (PFOS)	µg/(m2d)	<	0.01		02/03/2022	07/04/2022
Acido perfluoropentanoico (PFPeA)	µg/(m2d)	<	0.01		02/03/2022	07/04/2022
Acido perfluoro-2-propossipropanoico (HFPO-DA)	µg/(m2d)	Non Previsto		ND	02/03/2022	07/04/2022
ADV N2	µg/(m2d)	=	0.19		02/03/2022	07/04/2022
cC6O4 (CAS 1190931-41-9)	µg/(m2d)	=	0.98		02/03/2022	07/04/2022
Giorni di raccolta della deposizione	d	=	36		02/03/2022	07/04/2022
Perfluoro-a-esansolfonato di sodio (PFHXS)	µg/(m2d)	<	0.01		02/03/2022	07/04/2022
Perfluoro-1-decansolfonato di sodio (PFDS)	µg/(m2d)	<	0.01		02/03/2022	07/04/2022
Superficie di raccolta della deposizione	m2	=	0.0346		02/03/2022	07/04/2022
Volume della deposizione	ml	=	970.7		02/03/2022	07/04/2022
Acido perfluorobutanoico (PFBA)	µg/(m2d)	<	0.01		07/04/2022	05/05/2022
Acido perfluorobutansolfonico (PFBS)	µg/(m2d)	<	0.01		07/04/2022	05/05/2022
Acido perfluoroesanoico (PFHxA)	µg/(m2d)	<	0.01		07/04/2022	05/05/2022
Acido perfluoro-n-decanoico (PFDA)	µg/(m2d)	<	0.01		07/04/2022	05/05/2022
Acido perfluoro-n-dodecanoico (PFDoA)	µg/(m2d)	<	0.01		07/04/2022	05/05/2022
Acido perfluoro-n-eptanoico (PFHPA)	µg/(m2d)	<	0.01		07/04/2022	05/05/2022
Acido perfluoro-n-nonanoico (PFNA)	µg/(m2d)	<	0.01		07/04/2022	05/05/2022
Acido perfluoro-n-undecanoico (PFUdA)	µg/(m2d)	<	0.01		07/04/2022	05/05/2022
Acido perfluorooottanoico (PFOA)	µg/(m2d)	<	0.01		07/04/2022	05/05/2022
Acido perfluorooottansolfonico (PFOS)	µg/(m2d)	<	0.01		07/04/2022	05/05/2022
Acido perfluoropentanoico (PFPeA)	µg/(m2d)	<	0.01		07/04/2022	05/05/2022
Acido perfluoro-2-propossipropanoico (HFPO-DA)	µg/(m2d)	<	0.04		07/04/2022	05/05/2022
ADV N2	µg/(m2d)	=	0.18		07/04/2022	05/05/2022
cC6O4 (CAS 1190931-41-9)	µg/(m2d)	=	2.71		07/04/2022	05/05/2022
Giorni di raccolta della deposizione	d	=	27.8		07/04/2022	05/05/2022
Perfluoro-a-esansolfonato di sodio (PFHXS)	µg/(m2d)	<	0.01		07/04/2022	05/05/2022
Perfluoro-1-decansolfonato di sodio (PFDS)	µg/(m2d)	<	0.01		07/04/2022	05/05/2022
Superficie di raccolta della deposizione	m2	=	0.0346		07/04/2022	05/05/2022
Volume della deposizione	ml	=	802.3		07/04/2022	05/05/2022
Acido perfluorobutanoico (PFBA)	µg/(m2d)	<	0.01		05/05/2022	03/06/2022

Acido perfluorobutansolfonico (PFBS)	µg/(m2d)	<	0.01		05/05/2022	03/06/2022
Acido perfluoroesanoico (PFHxA)	µg/(m2d)	<	0.01		05/05/2022	03/06/2022
Acido perfluoroesansolfonico (PFHXS)	µg/(m2d)	<	0.01		05/05/2022	03/06/2022
Acido perfluoro-n-decanoico (PFDA)	µg/(m2d)	<	0.01		05/05/2022	03/06/2022
Acido perfluoro-n-dodecanoico (PFDoA)	µg/(m2d)	<	0.01		05/05/2022	03/06/2022
Acido perfluoro-n-eptanoico (PFHPA)	µg/(m2d)	<	0.01		05/05/2022	03/06/2022
Acido perfluoro-n-nonanoico (PFNA)	µg/(m2d)	<	0.01		05/05/2022	03/06/2022
Acido perfluoro-n-undecanoico (PFUdA)	µg/(m2d)	<	0.01		05/05/2022	03/06/2022
Acido perfluoroottanoico (PFOA)	µg/(m2d)	<	0.01		05/05/2022	03/06/2022
Acido perfluoroottansolfonico (PFOS)	µg/(m2d)	<	0.01		05/05/2022	03/06/2022
Acido perfluoropentanoico (PFPeA)	µg/(m2d)	<	0.01		05/05/2022	03/06/2022
Acido perfluorodecansolfonico (PFDS)	µg/(m2d)	<	0.01		05/05/2022	03/06/2022
Acido perfluoro-2-propossipropanoico (HFPO-DA)	µg/(m2d)	<	0.04		05/05/2022	03/06/2022
ADV N2	µg/(m2d)	=	0.09		05/05/2022	03/06/2022
cC6O4 (CAS 1190931-41-9)	µg/(m2d)	=	0.41		05/05/2022	03/06/2022
Giorni di raccolta della deposizione	d	=	29		05/05/2022	03/06/2022
Superficie di raccolta della deposizione	m2	=	0.0346		05/05/2022	03/06/2022
Volume della deposizione	ml	=	997.1		05/05/2022	03/06/2022
Acido perfluorobutanoico (PFBA)	µg/(m2d)	<	0.02		03/06/2022	06/07/2022
Acido perfluorobutansolfonico (PFBS)	µg/(m2d)	<	0.02		03/06/2022	06/07/2022
Acido perfluoroesanoico (PFHxA)	µg/(m2d)	<	0.02		03/06/2022	06/07/2022
Acido perfluoroesansolfonico (PFHXS)	µg/(m2d)	<	0.02		03/06/2022	06/07/2022
Acido perfluoro-n-decanoico (PFDA)	µg/(m2d)	<	0.02		03/06/2022	06/07/2022
Acido perfluoro-n-dodecanoico (PFDoA)	µg/(m2d)	<	0.02		03/06/2022	06/07/2022
Acido perfluoro-n-eptanoico (PFHPA)	µg/(m2d)	<	0.02		03/06/2022	06/07/2022
Acido perfluoro-n-nonanoico (PFNA)	µg/(m2d)	<	0.02		03/06/2022	06/07/2022
Acido perfluoro-n-undecanoico (PFUdA)	µg/(m2d)	<	0.02		03/06/2022	06/07/2022
Acido perfluoroottanoico (PFOA)	µg/(m2d)	<	0.02		03/06/2022	06/07/2022
Acido perfluoroottansolfonico (PFOS)	µg/(m2d)	<	0.02		03/06/2022	06/07/2022
Acido perfluoropentanoico (PFPeA)	µg/(m2d)	<	0.02		03/06/2022	06/07/2022
Acido perfluorodecansolfonico (PFDS)	µg/(m2d)	<	0.02		03/06/2022	06/07/2022
Acido perfluoro-2-propossipropanoico (HFPO-DA)	µg/(m2d)	<	0.08		03/06/2022	06/07/2022
ADV N2	µg/(m2d)	=	0.1		03/06/2022	06/07/2022
cC6O4 (CAS 1190931-41-9)	µg/(m2d)	=	0.28		03/06/2022	06/07/2022
Giorni di raccolta della deposizione	d	=	33		03/06/2022	06/07/2022
Superficie di raccolta della deposizione	m2	=	0.0346		03/06/2022	06/07/2022
Volume della deposizione	ml	=	2045.9		03/06/2022	06/07/2022
Acido perfluorobutanoico (PFBA)	µg/(m2d)	<	0.02		06/07/2022	08/08/2022
Acido perfluorobutansolfonico (PFBS)	µg/(m2d)	<	0.02		06/07/2022	08/08/2022
Acido perfluoroesanoico (PFHxA)	µg/(m2d)	<	0.02		06/07/2022	08/08/2022
Acido perfluoroesansolfonico (PFHXS)	µg/(m2d)	<	0.02		06/07/2022	08/08/2022
Acido perfluoro-n-decanoico (PFDA)	µg/(m2d)	<	0.02		06/07/2022	08/08/2022
Acido perfluoro-n-dodecanoico (PFDoA)	µg/(m2d)	=	0.01		06/07/2022	08/08/2022

Acido perfluoro-n-eptanoico (PFHPA)	µg/(m2d)	<	0.02		06/07/2022	08/08/2022
Acido perfluoro-n-nonanoico (PFNA)	µg/(m2d)	<	0.02		06/07/2022	08/08/2022
Acido perfluoro-n-undecanoico (PFUdA)	µg/(m2d)	<	0.02		06/07/2022	08/08/2022
Acido perfluoroottanoico (PFOA)	µg/(m2d)	<	0.02		06/07/2022	08/08/2022
Acido perfluoroottansolfonico (PFOS)	µg/(m2d)	<	0.02		06/07/2022	08/08/2022
Acido perfluoropentanoico (PFPeA)	µg/(m2d)	<	0.02		06/07/2022	08/08/2022
Acido perfluorodecansolfonico (PFDS)	µg/(m2d)	<	0.02		06/07/2022	08/08/2022
Acido perfluoro-2-propossipropanoico (HFPO-DA)	µg/(m2d)	Non Previsto		ND	06/07/2022	08/08/2022
ADV N2	µg/(m2d)	=	0.11		06/07/2022	08/08/2022
cC6O4 (CAS 1190931-41-9)	µg/(m2d)	=	0.27		06/07/2022	08/08/2022
Giorni di raccolta della deposizione	d	=	33.1		06/07/2022	08/08/2022
Superficie di raccolta della deposizione	m2	=	0.0346		06/07/2022	08/08/2022
Volume della deposizione	ml	=	1896.1		06/07/2022	08/08/2022
Acido perfluorobutanoico (PFBA)	µg/(m2d)	=	0.13		08/08/2022	07/09/2022
Acido perfluorobutansolfonico (PFBS)	µg/(m2d)	<	0.01		08/08/2022	07/09/2022
Acido perfluoroesanoico (PFHxA)	µg/(m2d)	<	0.01		08/08/2022	07/09/2022
Acido perfluoroesansolfonico (PFHXS)	µg/(m2d)	<	0.01		08/08/2022	07/09/2022
Acido perfluoro-n-decanoico (PFDA)	µg/(m2d)	<	0.01		08/08/2022	07/09/2022
Acido perfluoro-n-dodecanoico (PFDoA)	µg/(m2d)	<	0.01		08/08/2022	07/09/2022
Acido perfluoro-n-eptanoico (PFHPA)	µg/(m2d)	<	0.01		08/08/2022	07/09/2022
Acido perfluoro-n-nonanoico (PFNA)	µg/(m2d)	<	0.01		08/08/2022	07/09/2022
Acido perfluoro-n-undecanoico (PFUdA)	µg/(m2d)	<	0.01		08/08/2022	07/09/2022
Acido perfluoroottanoico (PFOA)	µg/(m2d)	<	0.01		08/08/2022	07/09/2022
Acido perfluoroottansolfonico (PFOS)	µg/(m2d)	<	0.01		08/08/2022	07/09/2022
Acido perfluoropentanoico (PFPeA)	µg/(m2d)	<	0.01		08/08/2022	07/09/2022
Acido perfluorodecansolfonico (PFDS)	µg/(m2d)	<	0.01		08/08/2022	07/09/2022
Acido perfluoro-2-propossipropanoico (HFPO-DA)	µg/(m2d)	Non Previsto	ND		08/08/2022	07/09/2022
ADV N2	µg/(m2d)	=	0.07		08/08/2022	07/09/2022
cC6O4 (CAS 1190931-41-9)	µg/(m2d)	=	0.78		08/08/2022	07/09/2022
Giorni di raccolta della deposizione	d	=	30		08/08/2022	07/09/2022
Superficie di raccolta della deposizione	m2	=	0.0346		08/08/2022	07/09/2022
Volume della deposizione	ml	=	964.1		08/08/2022	07/09/2022
Acido perfluorobutanoico (PFBA)	µg/(m2d)	<	0.02		07/09/2022	05/10/2022
Acido perfluorobutansolfonico (PFBS)	µg/(m2d)	<	0.02		07/09/2022	05/10/2022
Acido perfluoroesanoico (PFHxA)	µg/(m2d)	<	0.02		07/09/2022	05/10/2022
Acido perfluoroesansolfonico (PFHXS)	µg/(m2d)	<	0.02		07/09/2022	05/10/2022
Acido perfluoro-n-decanoico (PFDA)	µg/(m2d)	<	0.02		07/09/2022	05/10/2022
Acido perfluoro-n-dodecanoico (PFDoA)	µg/(m2d)	<	0.02		07/09/2022	05/10/2022
Acido perfluoro-n-eptanoico (PFHPA)	µg/(m2d)	<	0.02		07/09/2022	05/10/2022
Acido perfluoro-n-nonanoico (PFNA)	µg/(m2d)	<	0.02		07/09/2022	05/10/2022
Acido perfluoro-n-undecanoico (PFUdA)	µg/(m2d)	<	0.02		07/09/2022	05/10/2022
Acido perfluoroottanoico (PFOA)	µg/(m2d)	<	0.02		07/09/2022	05/10/2022
Acido perfluoroottansolfonico (PFOS)	µg/(m2d)	<	0.02		07/09/2022	05/10/2022

Acido perfluoropentanoico (PFPeA)	µg/(m2d)	<	0.02		07/09/2022	05/10/2022
Acido perfluorodecansolfonico (PFDS)	µg/(m2d)	<	0.02		07/09/2022	05/10/2022
ADV N2	µg/(m2d)	=	0.11		07/09/2022	05/10/2022
cC6O4 (CAS 1190931-41-9)	µg/(m2d)	=	0.66		07/09/2022	05/10/2022
Acido perfluorobutanoico (PFBA)	µg/(m2d)	<	0.02		05/10/2022	08/11/2022
Acido perfluorobutansolfonico (PFBS)	µg/(m2d)	<	0.02		05/10/2022	08/11/2022
Acido perfluoroesanoico (PFHxA)	µg/(m2d)	<	0.02		05/10/2022	08/11/2022
Acido perfluoroesansolfonico (PFHXS)	µg/(m2d)	<	0.02		05/10/2022	08/11/2022
Acido perfluoro-n-decanoico (PFDA)	µg/(m2d)	<	0.02		05/10/2022	08/11/2022
Acido perfluoro-n-dodecanoico (PFDoA)	µg/(m2d)	<	0.02		05/10/2022	08/11/2022
Acido perfluoro-n-eptanoico (PFHPA)	µg/(m2d)	<	0.02		05/10/2022	08/11/2022
Acido perfluoro-n-nonanoico (PFNA)	µg/(m2d)	<	0.02		05/10/2022	08/11/2022
Acido perfluoro-n-undecanoico (PFUdA)	µg/(m2d)	<	0.02		05/10/2022	08/11/2022
Acido perfluorooottanoico (PFOA)	µg/(m2d)	<	0.02		05/10/2022	08/11/2022
Acido perfluorooottansolfonico (PFOS)	µg/(m2d)	<	0.02		05/10/2022	08/11/2022
Acido perfluoropentanoico (PFPeA)	µg/(m2d)	<	0.02		05/10/2022	08/11/2022
Acido perfluorodecansolfonico (PFDS)	µg/(m2d)	<	0.02		05/10/2022	08/11/2022
Acido perfluoro-2-propossipropanoico (HFPO-DA)	µg/(m2d)	<	0.04		05/10/2022	08/11/2022
ADV N2	µg/(m2d)	<	0.04		05/10/2022	08/11/2022
cC6O4 (CAS 1190931-41-9)	µg/(m2d)	=	0.15		05/10/2022	08/11/2022
Acido perfluorobutanoico (PFBA)	µg/(m2d)	<	0.04		08/11/2022	07/12/2022
Acido perfluorobutansolfonico (PFBS)	µg/(m2d)	<	0.04		08/11/2022	07/12/2022
Acido perfluoroesanoico (PFHxA)	µg/(m2d)	<	0.04		08/11/2022	07/12/2022
Acido perfluoroesansolfonico (PFHXS)	µg/(m2d)	<	0.04		08/11/2022	07/12/2022
Acido perfluoro-n-decanoico (PFDA)	µg/(m2d)	<	0.04		08/11/2022	07/12/2022
Acido perfluoro-n-dodecanoico (PFDoA)	µg/(m2d)	<	0.04		08/11/2022	07/12/2022
Acido perfluoro-n-eptanoico (PFHPA)	µg/(m2d)	<	0.04		08/11/2022	07/12/2022
Acido perfluoro-n-nonanoico (PFNA)	µg/(m2d)	<	0.04		08/11/2022	07/12/2022
Acido perfluoro-n-undecanoico (PFUdA)	µg/(m2d)	<	0.04		08/11/2022	07/12/2022
Acido perfluorooottanoico (PFOA)	µg/(m2d)	<	0.04		08/11/2022	07/12/2022
Acido perfluorooottansolfonico (PFOS)	µg/(m2d)	<	0.04		08/11/2022	07/12/2022
Acido perfluoropentanoico (PFPeA)	µg/(m2d)	<	0.04		08/11/2022	07/12/2022
Acido perfluorodecansolfonico (PFDS)	µg/(m2d)	<	0.04		08/11/2022	07/12/2022
Acido perfluoro-2-propossipropanoico (HFPO-DA)	µg/(m2d)	<	0.16		08/11/2022	07/12/2022
ADV N2	µg/(m2d)	<	0.16		08/11/2022	07/12/2022
cC6O4 (CAS 1190931-41-9)	µg/(m2d)	=	0.16		08/11/2022	07/12/2022
Acido perfluorobutanoico (PFBA)	µg/(m2d)	<	0.02		07/12/2022	16/01/2023
Acido perfluorobutansolfonico (PFBS)	µg/(m2d)	<	0.02		07/12/2022	16/01/2023
Acido perfluoroesanoico (PFHxA)	µg/(m2d)	<	0.02		07/12/2022	16/01/2023
Acido perfluoroesansolfonico (PFHXS)	µg/(m2d)	<	0.02		07/12/2022	16/01/2023
Acido perfluoro-n-decanoico (PFDA)	µg/(m2d)	<	0.02		07/12/2022	16/01/2023
Acido perfluoro-n-dodecanoico (PFDoA)	µg/(m2d)	<	0.02		07/12/2022	16/01/2023
Acido perfluoro-n-eptanoico (PFHPA)	µg/(m2d)	<	0.02		07/12/2022	16/01/2023

Acido perfluoro-n-nonanoico (PFNA)	µg/(m2d)	<	0.02		07/12/2022	16/01/2023
Acido perfluoro-n-undecanoico (PFUdA)	µg/(m2d)	<	0.02		07/12/2022	16/01/2023
Acido perfluorooottanoico (PFOA)	µg/(m2d)	<	0.02		07/12/2022	16/01/2023
Acido perfluorooottansolfonico (PFOS)	µg/(m2d)	<	0.02		07/12/2022	16/01/2023
Acido perfluoropentanoico (PFPeA)	µg/(m2d)	<	0.02		07/12/2022	16/01/2023
Acido perfluorodecansolfonico (PFDS)	µg/(m2d)	<	0.02		07/12/2022	16/01/2023
Acido perfluoro-2-propossipropanoico (HFPO-DA)	µg/(m2d)	<	0.08		07/12/2022	16/01/2023
ADV N2	µg/(m2d)	<	0.08		07/12/2022	16/01/2023
cC6O4 (CAS 1190931-41-9)	µg/(m2d)	=	0.15		07/12/2022	16/01/2023
Acido perfluorobutanoico (PFBA)	µg/(m2d)	Non Previsto		ND	16/01/2023	15/02/2023
Acido perfluorobutansolfonico (PFBS)	µg/(m2d)	<	0.01		16/01/2023	15/02/2023
Acido perfluoroesanoico (PFHxA)	µg/(m2d)	<	0.01		16/01/2023	15/02/2023
Acido perfluoroesansolfonico (PFHXS)	µg/(m2d)	<	0.01		16/01/2023	15/02/2023
Acido perfluoro-n-decanoico (PFDA)	µg/(m2d)	<	0.01		16/01/2023	15/02/2023
Acido perfluoro-n-dodecanoico (PFDoA)	µg/(m2d)	<	0.01		16/01/2023	15/02/2023
Acido perfluoro-n-eptanoico (PFHPA)	µg/(m2d)	<	0.01		16/01/2023	15/02/2023
Acido perfluoro-n-nonanoico (PFNA)	µg/(m2d)	<	0.01		16/01/2023	15/02/2023
Acido perfluoro-n-undecanoico (PFUdA)	µg/(m2d)	<	0.01		16/01/2023	15/02/2023
Acido perfluorooottanoico (PFOA)	µg/(m2d)	<	0.01		16/01/2023	15/02/2023
Acido perfluorooottansolfonico (PFOS)	µg/(m2d)	<	0.01		16/01/2023	15/02/2023
Acido perfluoropentanoico (PFPeA)	µg/(m2d)	<	0.01		16/01/2023	15/02/2023
Acido perfluorodecansolfonico (PFDS)	µg/(m2d)	<	0.01		16/01/2023	15/02/2023
Acido perfluoro-2-propossipropanoico (HFPO-DA)	µg/(m2d)	<	0.04		16/01/2023	15/02/2023
ADV N2	µg/(m2d)	<	0.04		16/01/2023	15/02/2023
cC6O4 (CAS 1190931-41-9)	µg/(m2d)	=	0.23		16/01/2023	15/02/2023
Acido perfluorobutanoico (PFBA)	µg/(m2d)	Non Previsto		ND	15/02/2023	15/03/2023
Acido perfluorobutansolfonico (PFBS)	µg/(m2d)	<	0.01		15/02/2023	15/03/2023
Acido perfluoroesanoico (PFHxA)	µg/(m2d)	<	0.01		15/02/2023	15/03/2023
Acido perfluoroesansolfonico (PFHXS)	µg/(m2d)	<	0.01		15/02/2023	15/03/2023
Acido perfluoro-n-decanoico (PFDA)	µg/(m2d)	<	0.01		15/02/2023	15/03/2023
Acido perfluoro-n-dodecanoico (PFDoA)	µg/(m2d)	<	0.01		15/02/2023	15/03/2023
Acido perfluoro-n-eptanoico (PFHPA)	µg/(m2d)	<	0.01		15/02/2023	15/03/2023
Acido perfluoro-n-nonanoico (PFNA)	µg/(m2d)	<	0.01		15/02/2023	15/03/2023
Acido perfluoro-n-undecanoico (PFUdA)	µg/(m2d)	<	0.01		15/02/2023	15/03/2023
Acido perfluorooottanoico (PFOA)	µg/(m2d)	<	0.01		15/02/2023	15/03/2023
Acido perfluorooottansolfonico (PFOS)	µg/(m2d)	<	0.01		15/02/2023	15/03/2023
Acido perfluoropentanoico (PFPeA)	µg/(m2d)	<	0.01		15/02/2023	15/03/2023
Acido perfluorodecansolfonico (PFDS)	µg/(m2d)	<	0.01		15/02/2023	15/03/2023
Acido perfluoro-2-propossipropanoico (HFPO-DA)	µg/(m2d)	<	0.04		15/02/2023	15/03/2023
ADV N2	µg/(m2d)	=	0.06		15/02/2023	15/03/2023
cC6O4 (CAS 1190931-41-9)	µg/(m2d)	=	0.37		15/02/2023	15/03/2023

Acido perfluorobutanoico (PFBA)	µg/(m2d)	<	0.01		15/03/2023	14/04/2023
Acido perfluorobutansolfonico (PFBS)	µg/(m2d)	<	0.01		15/03/2023	14/04/2023
Acido perfluoroesanoico (PFHxA)	µg/(m2d)	<	0.01		15/03/2023	14/04/2023
Acido perfluoroesansolfonico (PFHXS)	µg/(m2d)	<	0.01		15/03/2023	14/04/2023
Acido perfluoro-n-decanoico (PFDA)	µg/(m2d)	<	0.01		15/03/2023	14/04/2023
Acido perfluoro-n-dodecanoico (PFDoA)	µg/(m2d)	<	0.01		15/03/2023	14/04/2023
Acido perfluoro-n-eptanoico (PFHPA)	µg/(m2d)	<	0.01		15/03/2023	14/04/2023
Acido perfluoro-n-nonanoico (PFNA)	µg/(m2d)	<	0.01		15/03/2023	14/04/2023
Acido perfluoro-n-undecanoico (PFUdA)	µg/(m2d)	<	0.01		15/03/2023	14/04/2023
Acido perfluorooottanoico (PFOA)	µg/(m2d)	<	0.01		15/03/2023	14/04/2023
Acido perfluorooottansolfonico (PFOS)	µg/(m2d)	<	0.01		15/03/2023	14/04/2023
Acido perfluoropentanoico (PFPeA)	µg/(m2d)	<	0.01		15/03/2023	14/04/2023
Acido perfluorodecansolfonico (PFDS)	µg/(m2d)	<	0.01		15/03/2023	14/04/2023
Acido perfluoro-2-propossipropanoico (HFPO-DA)	µg/(m2d)	Non Previsto		ND	15/03/2023	14/04/2023
ADV N2	µg/(m2d)	<	0.04		15/03/2023	14/04/2023
cC6O4 (CAS 1190931-41-9)	µg/(m2d)	=	0.72		15/03/2023	14/04/2023
Acido perfluorobutanoico (PFBA)	µg/(m2d)	=	0.03		14/04/2023	12/05/2023
Acido perfluorobutansolfonico (PFBS)	µg/(m2d)	<	0.02		14/04/2023	12/05/2023
Acido perfluoroesanoico (PFHxA)	µg/(m2d)	<	0.02		14/04/2023	12/05/2023
Acido perfluoroesansolfonico (PFHXS)	µg/(m2d)	<	0.02		14/04/2023	12/05/2023
Acido perfluoro-n-decanoico (PFDA)	µg/(m2d)	<	0.02		14/04/2023	12/05/2023
Acido perfluoro-n-dodecanoico (PFDoA)	µg/(m2d)	<	0.02		14/04/2023	12/05/2023
Acido perfluoro-n-eptanoico (PFHPA)	µg/(m2d)	<	0.02		14/04/2023	12/05/2023
Acido perfluoro-n-nonanoico (PFNA)	µg/(m2d)	<	0.02		14/04/2023	12/05/2023
Acido perfluoro-n-undecanoico (PFUdA)	µg/(m2d)	<	0.02		14/04/2023	12/05/2023
Acido perfluorooottanoico (PFOA)	µg/(m2d)	<	0.02		14/04/2023	12/05/2023
Acido perfluorooottansolfonico (PFOS)	µg/(m2d)	<	0.02		14/04/2023	12/05/2023
Acido perfluoropentanoico (PFPeA)	µg/(m2d)	<	0.02		14/04/2023	12/05/2023
Acido perfluorodecansolfonico (PFDS)	µg/(m2d)	<	0.02		14/04/2023	12/05/2023
Acido perfluoro-2-propossipropanoico (HFPO-DA)	µg/(m2d)	Non Previsto		ND	14/04/2023	12/05/2023
ADV N2	µg/(m2d)	<	0.08		14/04/2023	12/05/2023
cC6O4 (CAS 1190931-41-9)	µg/(m2d)	=	0.36		14/04/2023	12/05/2023
Acido perfluorobutanoico (PFBA)	µg/(m2d)	<	0.03		12/05/2023	22/06/2023
Acido perfluorobutansolfonico (PFBS)	µg/(m2d)	<	0.03		12/05/2023	22/06/2023
Acido perfluoroesanoico (PFHxA)	µg/(m2d)	<	0.03		12/05/2023	22/06/2023
Acido perfluoroesansolfonico (PFHXS)	µg/(m2d)	<	0.03		12/05/2023	22/06/2023
Acido perfluoro-n-decanoico (PFDA)	µg/(m2d)	<	0.03		12/05/2023	22/06/2023
Acido perfluoro-n-dodecanoico (PFDoA)	µg/(m2d)	<	0.03		12/05/2023	22/06/2023
Acido perfluoro-n-eptanoico (PFHPA)	µg/(m2d)	<	0.03		12/05/2023	22/06/2023
Acido perfluoro-n-nonanoico (PFNA)	µg/(m2d)	<	0.03		12/05/2023	22/06/2023
Acido perfluoro-n-undecanoico (PFUdA)	µg/(m2d)	<	0.03		12/05/2023	22/06/2023
Acido perfluorooottanoico (PFOA)	µg/(m2d)	<	0.03		12/05/2023	22/06/2023
Acido perfluorooottansolfonico (PFOS)	µg/(m2d)	<	0.03		12/05/2023	22/06/2023

Acido perfluoropentanoico (PFPeA)	µg/(m2d)	<	0.03		12/05/2023	22/06/2023
Acido perfluorodecansolfonico (PFDS)	µg/(m2d)	<	0.03		12/05/2023	22/06/2023
Acido perfluoro-2-propossipropanoico (HFPO-DA)	µg/(m2d)	<	0.12		12/05/2023	22/06/2023
ADV N2	µg/(m2d)	<	0.12		12/05/2023	22/06/2023
cC6O4 (CAS 1190931-41-9)	µg/(m2d)	=	0.36		12/05/2023	22/06/2023
Acido perfluorobutanoico (PFBA)	µg/(m2d)	<	0.01		22/06/2023	03/08/2023
Acido perfluorobutansolfonico (PFBS)	µg/(m2d)	<	0.01		22/06/2023	03/08/2023
Acido perfluoroesanoico (PFHxA)	µg/(m2d)	<	0.01		22/06/2023	03/08/2023
Acido perfluoroesansolfonico (PFHXS)	µg/(m2d)	<	0.01		22/06/2023	03/08/2023
Acido perfluoro-n-decanoico (PFDA)	µg/(m2d)	<	0.01		22/06/2023	03/08/2023
Acido perfluoro-n-dodecanoico (PFDoA)	µg/(m2d)	<	0.01		22/06/2023	03/08/2023
Acido perfluoro-n-eptanoico (PFHPA)	µg/(m2d)	<	0.01		22/06/2023	03/08/2023
Acido perfluoro-n-nonanoico (PFNA)	µg/(m2d)	<	0.01		22/06/2023	03/08/2023
Acido perfluoro-n-undecanoico (PFUdA)	µg/(m2d)	<	0.01		22/06/2023	03/08/2023
Acido perfluoroottanoico (PFOA)	µg/(m2d)	<	0.01		22/06/2023	03/08/2023
Acido perfluoroottansolfonico (PFOS)	µg/(m2d)	<	0.01		22/06/2023	03/08/2023
Acido perfluoropentanoico (PFPeA)	µg/(m2d)	<	0.01		22/06/2023	03/08/2023
Acido perfluorodecansolfonico (PFDS)	µg/(m2d)	<	0.01		22/06/2023	03/08/2023
Acido perfluoro-2-propossipropanoico (HFPO-DA)	µg/(m2d)	<	0.04		22/06/2023	03/08/2023
ADV N2	µg/(m2d)	<	0.04		22/06/2023	03/08/2023
cC6O4 (CAS 1190931-41-9)	µg/(m2d)	<	0.04		22/06/2023	03/08/2023
Acido perfluorobutanoico (PFBA)	µg/(m2d)	<	0.02		03/08/2023	07/09/2023
Acido perfluorobutansolfonico (PFBS)	µg/(m2d)	<	0.02		03/08/2023	07/09/2023
Acido perfluoroesanoico (PFHxA)	µg/(m2d)	<	0.02		03/08/2023	07/09/2023
Acido perfluoroesansolfonico (PFHXS)	µg/(m2d)	<	0.02		03/08/2023	07/09/2023
Acido perfluoro-n-decanoico (PFDA)	µg/(m2d)	<	0.02		03/08/2023	07/09/2023
Acido perfluoro-n-dodecanoico (PFDoA)	µg/(m2d)	<	0.02		03/08/2023	07/09/2023
Acido perfluoro-n-eptanoico (PFHPA)	µg/(m2d)	<	0.02		03/08/2023	07/09/2023
Acido perfluoro-n-nonanoico (PFNA)	µg/(m2d)	<	0.02		03/08/2023	07/09/2023
Acido perfluoro-n-undecanoico (PFUdA)	µg/(m2d)	<	0.02		03/08/2023	07/09/2023
Acido perfluoroottanoico (PFOA)	µg/(m2d)	<	0.02		03/08/2023	07/09/2023
Acido perfluoroottansolfonico (PFOS)	µg/(m2d)	<	0.02		03/08/2023	07/09/2023
Acido perfluoropentanoico (PFPeA)	µg/(m2d)	<	0.02		03/08/2023	07/09/2023
Acido perfluorodecansolfonico (PFDS)	µg/(m2d)	<	0.02		03/08/2023	07/09/2023
Acido perfluoro-2-propossipropanoico (HFPO-DA)	µg/(m2d)	<	0.07		03/08/2023	07/09/2023
ADV N2	µg/(m2d)	<	0.07		03/08/2023	07/09/2023
cC6O4 (CAS 1190931-41-9)	µg/(m2d)	=	0.12		03/08/2023	07/09/2023

PUNTO MONTECASTELLO

Parametro	Unità di misura	Inferiore al limite	Valore	Valore Txt	dal	al
Acido perfluorobutanoico (PFBA)	µg/(m2d)	Non Previsto		ND	13/01/2023	15/02/2023
Acido perfluorobutansolfonico (PFBS)	µg/(m2d)	<	0.01		13/01/2023	15/02/2023
Acido perfluoroesanoico (PFHxA)	µg/(m2d)	<	0.01		13/01/2023	15/02/2023
Acido perfluoroesansolfonico (PFHXS)	µg/(m2d)	<	0.01		13/01/2023	15/02/2023
Acido perfluoro-n-decanoico (PFDA)	µg/(m2d)	<	0.01		13/01/2023	15/02/2023
Acido perfluoro-n-dodecanoico (PFDoA)	µg/(m2d)	<	0.01		13/01/2023	15/02/2023
Acido perfluoro-n-eptanoico (PFHPA)	µg/(m2d)	<	0.01		13/01/2023	15/02/2023
Acido perfluoro-n-nonanoico (PFNA)	µg/(m2d)	<	0.01		13/01/2023	15/02/2023
Acido perfluoro-n-undecanoico (PFUdA)	µg/(m2d)	<	0.01		13/01/2023	15/02/2023
Acido perfluorooottanoico (PFOA)	µg/(m2d)	<	0.01		13/01/2023	15/02/2023
Acido perfluorooottansolfonico (PFOS)	µg/(m2d)	<	0.01		13/01/2023	15/02/2023
Acido perfluoropentanoico (PFPeA)	µg/(m2d)	<	0.01		13/01/2023	15/02/2023
Acido perfluorodecansolfonico (PFDS)	µg/(m2d)	<	0.01		13/01/2023	15/02/2023
Acido perfluoro-2-propossipropanoico (HFPO-DA)	µg/(m2d)	<	0.04		13/01/2023	15/02/2023
ADV N2	µg/(m2d)	<	0.04		13/01/2023	15/02/2023
cC6O4 (CAS 1190931-41-9)	µg/(m2d)	<	0.04		13/01/2023	15/02/2023
Acido perfluorobutanoico (PFBA)	µg/(m2d)	Non Previsto		ND	15/02/2023	15/03/2023
Acido perfluorobutansolfonico (PFBS)	µg/(m2d)	<	0.01		15/02/2023	15/03/2023
Acido perfluoroesanoico (PFHxA)	µg/(m2d)	<	0.01		15/02/2023	15/03/2023
Acido perfluoroesansolfonico (PFHXS)	µg/(m2d)	<	0.01		15/02/2023	15/03/2023
Acido perfluoro-n-decanoico (PFDA)	µg/(m2d)	<	0.01		15/02/2023	15/03/2023
Acido perfluoro-n-dodecanoico (PFDoA)	µg/(m2d)	<	0.01		15/02/2023	15/03/2023
Acido perfluoro-n-eptanoico (PFHPA)	µg/(m2d)	<	0.01		15/02/2023	15/03/2023
Acido perfluoro-n-nonanoico (PFNA)	µg/(m2d)	<	0.01		15/02/2023	15/03/2023
Acido perfluoro-n-undecanoico (PFUdA)	µg/(m2d)	<	0.01		15/02/2023	15/03/2023
Acido perfluorooottanoico (PFOA)	µg/(m2d)	<	0.01		15/02/2023	15/03/2023
Acido perfluorooottansolfonico (PFOS)	µg/(m2d)	<	0.01		15/02/2023	15/03/2023
Acido perfluoropentanoico (PFPeA)	µg/(m2d)	<	0.01		15/02/2023	15/03/2023
Acido perfluorodecansolfonico (PFDS)	µg/(m2d)	<	0.01		15/02/2023	15/03/2023
Acido perfluoro-2-propossipropanoico (HFPO-DA)	µg/(m2d)	<	0.04		15/02/2023	15/03/2023
ADV N2	µg/(m2d)	<	0.04		15/02/2023	15/03/2023
cC6O4 (CAS 1190931-41-9)	µg/(m2d)	=	0.14		15/02/2023	15/03/2023
Acido perfluorobutanoico (PFBA)	µg/(m2d)	<	0.02		12/05/2023	22/06/2023
Acido perfluorobutansolfonico (PFBS)	µg/(m2d)	<	0.02		12/05/2023	22/06/2023
Acido perfluoroesanoico (PFHxA)	µg/(m2d)	<	0.02		12/05/2023	22/06/2023

Acido perfluoroesansolfonico (PFHXS)	µg/(m2d)	<	0.02		12/05/2023	22/06/2023
Acido perfluoro-n-decanoico (PFDA)	µg/(m2d)	<	0.02		12/05/2023	22/06/2023
Acido perfluoro-n-dodecanoico (PFDoA)	µg/(m2d)	<	0.02		12/05/2023	22/06/2023
Acido perfluoro-n-eptanoico (PFHPA)	µg/(m2d)	<	0.02		12/05/2023	22/06/2023
Acido perfluoro-n-nonanoico (PFNA)	µg/(m2d)	<	0.02		12/05/2023	22/06/2023
Acido perfluoro-n-undecanoico (PFUdA)	µg/(m2d)	<	0.02		12/05/2023	22/06/2023
Acido perfluorooottanoico (PFOA)	µg/(m2d)	<	0.02		12/05/2023	22/06/2023
Acido perfluorooottansolfonico (PFOS)	µg/(m2d)	<	0.02		12/05/2023	22/06/2023
Acido perfluoropentanoico (PFPeA)	µg/(m2d)	<	0.02		12/05/2023	22/06/2023
Acido perfluorodecansolfonico (PFDS)	µg/(m2d)	<	0.02		12/05/2023	22/06/2023
Acido perfluoro-2-propossipropanoico (HFPO-DA)	µg/(m2d)	<	0.07		12/05/2023	22/06/2023
ADV N2	µg/(m2d)	<	0.07		12/05/2023	22/06/2023
cC6O4 (CAS 1190931-41-9)	µg/(m2d)	<	0.07		12/05/2023	22/06/2023
Acido perfluorobutanoico (PFBA)	µg/(m2d)	<	0.01		22/06/2023	03/08/2023
Acido perfluorobutansolfonico (PFBS)	µg/(m2d)	<	0.01		22/06/2023	03/08/2023
Acido perfluoroesanoico (PFHxA)	µg/(m2d)	<	0.01		22/06/2023	03/08/2023
Acido perfluoroesansolfonico (PFHXS)	µg/(m2d)	<	0.01		22/06/2023	03/08/2023
Acido perfluoro-n-decanoico (PFDA)	µg/(m2d)	<	0.01		22/06/2023	03/08/2023
Acido perfluoro-n-dodecanoico (PFDoA)	µg/(m2d)	<	0.01		22/06/2023	03/08/2023
Acido perfluoro-n-eptanoico (PFHPA)	µg/(m2d)	<	0.01		22/06/2023	03/08/2023
Acido perfluoro-n-nonanoico (PFNA)	µg/(m2d)	<	0.01		22/06/2023	03/08/2023
Acido perfluoro-n-undecanoico (PFUdA)	µg/(m2d)	<	0.01		22/06/2023	03/08/2023
Acido perfluorooottanoico (PFOA)	µg/(m2d)	<	0.01		22/06/2023	03/08/2023
Acido perfluorooottansolfonico (PFOS)	µg/(m2d)	<	0.01		22/06/2023	03/08/2023
Acido perfluoropentanoico (PFPeA)	µg/(m2d)	<	0.01		22/06/2023	03/08/2023
Acido perfluorodecansolfonico (PFDS)	µg/(m2d)	<	0.01		22/06/2023	03/08/2023
Acido perfluoro-2-propossipropanoico (HFPO-DA)	µg/(m2d)	<	0.04		22/06/2023	03/08/2023
ADV N2	µg/(m2d)	<	0.04		22/06/2023	03/08/2023
cC6O4 (CAS 1190931-41-9)	µg/(m2d)	<	0.04		22/06/2023	03/08/2023
Acido perfluorobutanoico (PFBA)	µg/(m2d)	<	0.02		03/08/2023	07/09/2023
Acido perfluorobutansolfonico (PFBS)	µg/(m2d)	<	0.02		03/08/2023	07/09/2023
Acido perfluoroesanoico (PFHxA)	µg/(m2d)	<	0.02		03/08/2023	07/09/2023
Acido perfluoroesansolfonico (PFHXS)	µg/(m2d)	<	0.02		03/08/2023	07/09/2023
Acido perfluoro-n-decanoico (PFDA)	µg/(m2d)	<	0.02		03/08/2023	07/09/2023
Acido perfluoro-n-dodecanoico (PFDoA)	µg/(m2d)	<	0.02		03/08/2023	07/09/2023
Acido perfluoro-n-eptanoico (PFHPA)	µg/(m2d)	<	0.02		03/08/2023	07/09/2023
Acido perfluoro-n-nonanoico (PFNA)	µg/(m2d)	<	0.02		03/08/2023	07/09/2023
Acido perfluoro-n-undecanoico (PFUdA)	µg/(m2d)	<	0.02		03/08/2023	07/09/2023
Acido perfluorooottanoico (PFOA)	µg/(m2d)	<	0.02		03/08/2023	07/09/2023
Acido perfluorooottansolfonico (PFOS)	µg/(m2d)	<	0.02		03/08/2023	07/09/2023
Acido perfluoropentanoico (PFPeA)	µg/(m2d)	<	0.02		03/08/2023	07/09/2023
Acido perfluorodecansolfonico (PFDS)	µg/(m2d)	<	0.02		03/08/2023	07/09/2023

Acido perfluoro-2-propossipropanoico (HFPO-DA)	µg/(m2d)	<	0.07		03/08/2023	07/09/2023
ADV N2	µg/(m2d)	<	0.07		03/08/2023	07/09/2023
cC6O4 (CAS 1190931-41-9)	µg/(m2d)	<	0.07		03/08/2023	07/09/2023
Acido perfluorobutanoico (PFBA)	µg/(m2d)	<	0.01		05/10/2022	08/11/2022
Acido perfluorobutansolfonico (PFBS)	µg/(m2d)	<	0.01		05/10/2022	08/11/2022
Acido perfluoroesanoico (PFHxA)	µg/(m2d)	<	0.01		05/10/2022	08/11/2022
Acido perfluoroesansolfonico (PFHXS)	µg/(m2d)	<	0.01		05/10/2022	08/11/2022
Acido perfluoro-n-decanoico (PFDA)	µg/(m2d)	<	0.01		05/10/2022	08/11/2022
Acido perfluoro-n-dodecanoico (PFDoA)	µg/(m2d)	<	0.01		05/10/2022	08/11/2022
Acido perfluoro-n-eptanoico (PFHPA)	µg/(m2d)	<	0.01		05/10/2022	08/11/2022
Acido perfluoro-n-nonanoico (PFNA)	µg/(m2d)	<	0.01		05/10/2022	08/11/2022
Acido perfluoro-n-undecanoico (PFUdA)	µg/(m2d)	<	0.01		05/10/2022	08/11/2022
Acido perfluorooottanoico (PFOA)	µg/(m2d)	<	0.01		05/10/2022	08/11/2022
Acido perfluorooottansolfonico (PFOS)	µg/(m2d)	<	0.01		05/10/2022	08/11/2022
Acido perfluoropentanoico (PFPeA)	µg/(m2d)	<	0.01		05/10/2022	08/11/2022
Acido perfluorodecansolfonico (PFDS)	µg/(m2d)	<	0.01		05/10/2022	08/11/2022
Acido perfluoro-2-propossipropanoico (HFPO-DA)	µg/(m2d)	<	0.04		05/10/2022	08/11/2022
ADV N2	µg/(m2d)	<	0.04		05/10/2022	08/11/2022
cC6O4 (CAS 1190931-41-9)	µg/(m2d)	<	0.04		05/10/2022	08/11/2022
Acido perfluorobutanoico (PFBA)	µg/(m2d)	<	0.04		08/11/2022	07/12/2022
Acido perfluorobutansolfonico (PFBS)	µg/(m2d)	<	0.04		08/11/2022	07/12/2022
Acido perfluoroesanoico (PFHxA)	µg/(m2d)	<	0.04		08/11/2022	07/12/2022
Acido perfluoroesansolfonico (PFHXS)	µg/(m2d)	<	0.04		08/11/2022	07/12/2022
Acido perfluoro-n-decanoico (PFDA)	µg/(m2d)	<	0.04		08/11/2022	07/12/2022
Acido perfluoro-n-dodecanoico (PFDoA)	µg/(m2d)	<	0.04		08/11/2022	07/12/2022
Acido perfluoro-n-eptanoico (PFHPA)	µg/(m2d)	<	0.04		08/11/2022	07/12/2022
Acido perfluoro-n-nonanoico (PFNA)	µg/(m2d)	<	0.04		08/11/2022	07/12/2022
Acido perfluoro-n-undecanoico (PFUdA)	µg/(m2d)	<	0.04		08/11/2022	07/12/2022
Acido perfluorooottanoico (PFOA)	µg/(m2d)	<	0.04		08/11/2022	07/12/2022
Acido perfluorooottansolfonico (PFOS)	µg/(m2d)	<	0.04		08/11/2022	07/12/2022
Acido perfluoropentanoico (PFPeA)	µg/(m2d)	<	0.04		08/11/2022	07/12/2022
Acido perfluorodecansolfonico (PFDS)	µg/(m2d)	<	0.04		08/11/2022	07/12/2022
Acido perfluoro-2-propossipropanoico (HFPO-DA)	µg/(m2d)	<	0.16		08/11/2022	07/12/2022
ADV N2	µg/(m2d)	<	0.16		08/11/2022	07/12/2022
cC6O4 (CAS 1190931-41-9)	µg/(m2d)	<	0.16		08/11/2022	07/12/2022
Acido perfluorobutanoico (PFBA)	µg/(m2d)	<	0.02		07/12/2022	13/01/2023
Acido perfluorobutansolfonico (PFBS)	µg/(m2d)	<	0.02		07/12/2022	13/01/2023
Acido perfluoroesanoico (PFHxA)	µg/(m2d)	<	0.02		07/12/2022	13/01/2023
Acido perfluoroesansolfonico (PFHXS)	µg/(m2d)	<	0.02		07/12/2022	13/01/2023
Acido perfluoro-n-decanoico (PFDA)	µg/(m2d)	<	0.02		07/12/2022	13/01/2023
Acido perfluoro-n-dodecanoico (PFDoA)	µg/(m2d)	<	0.02		07/12/2022	13/01/2023
Acido perfluoro-n-eptanoico (PFHPA)	µg/(m2d)	<	0.02		07/12/2022	13/01/2023

Acido perfluoro-n-nonanoico (PFNA)	µg/(m2d)	<	0.02		07/12/2022	13/01/2023
Acido perfluoro-n-undecanoico (PFUdA)	µg/(m2d)	<	0.02		07/12/2022	13/01/2023
Acido perfluorooottanoico (PFOA)	µg/(m2d)	<	0.02		07/12/2022	13/01/2023
Acido perfluorooottansolfonico (PFOS)	µg/(m2d)	<	0.02		07/12/2022	13/01/2023
Acido perfluoropentanoico (PFPeA)	µg/(m2d)	<	0.02		07/12/2022	13/01/2023
Acido perfluorodecansolfonico (PFDS)	µg/(m2d)	<	0.02		07/12/2022	13/01/2023
Acido perfluoro-2-propossipropanoico (HFPO-DA)	µg/(m2d)	<	0.08		07/12/2022	13/01/2023
ADV N2	µg/(m2d)	<	0.08		07/12/2022	13/01/2023
cC6O4 (CAS 1190931-41-9)	µg/(m2d)	<	0.08		07/12/2022	13/01/2023
Acido perfluorobutanoico (PFBA)	µg/(m2d)	<	0.01		15/03/2023	14/04/2023
Acido perfluorobutansolfonico (PFBS)	µg/(m2d)	<	0.01		15/03/2023	14/04/2023
Acido perfluoroesanoico (PFHxA)	µg/(m2d)	<	0.01		15/03/2023	14/04/2023
Acido perfluoroesansolfonico (PFHXS)	µg/(m2d)	<	0.01		15/03/2023	14/04/2023
Acido perfluoro-n-decanoico (PFDA)	µg/(m2d)	<	0.01		15/03/2023	14/04/2023
Acido perfluoro-n-dodecanoico (PFDoA)	µg/(m2d)	<	0.01		15/03/2023	14/04/2023
Acido perfluoro-n-eptanoico (PFHPA)	µg/(m2d)	<	0.01		15/03/2023	14/04/2023
Acido perfluoro-n-nonanoico (PFNA)	µg/(m2d)	<	0.01		15/03/2023	14/04/2023
Acido perfluoro-n-undecanoico (PFUdA)	µg/(m2d)	<	0.01		15/03/2023	14/04/2023
Acido perfluorooottanoico (PFOA)	µg/(m2d)	<	0.01		15/03/2023	14/04/2023
Acido perfluorooottansolfonico (PFOS)	µg/(m2d)	<	0.01		15/03/2023	14/04/2023
Acido perfluoropentanoico (PFPeA)	µg/(m2d)	<	0.01		15/03/2023	14/04/2023
Acido perfluorodecansolfonico (PFDS)	µg/(m2d)	<	0.01		15/03/2023	14/04/2023
Acido perfluoro-2-propossipropanoico (HFPO-DA)	µg/(m2d)	Non Previsto		ND	15/03/2023	14/04/2023
ADV N2	µg/(m2d)	<	0.04		15/03/2023	14/04/2023
cC6O4 (CAS 1190931-41-9)	µg/(m2d)	=	0.16		15/03/2023	14/04/2023
Acido perfluorobutanoico (PFBA)	µg/(m2d)	<	0.02		14/04/2023	12/05/2023
Acido perfluorobutansolfonico (PFBS)	µg/(m2d)	<	0.02		14/04/2023	12/05/2023
Acido perfluoroesanoico (PFHxA)	µg/(m2d)	<	0.02		14/04/2023	12/05/2023
Acido perfluoroesansolfonico (PFHXS)	µg/(m2d)	<	0.02		14/04/2023	12/05/2023
Acido perfluoro-n-decanoico (PFDA)	µg/(m2d)	<	0.02		14/04/2023	12/05/2023
Acido perfluoro-n-dodecanoico (PFDoA)	µg/(m2d)	<	0.02		14/04/2023	12/05/2023
Acido perfluoro-n-eptanoico (PFHPA)	µg/(m2d)	<	0.02		14/04/2023	12/05/2023
Acido perfluoro-n-nonanoico (PFNA)	µg/(m2d)	<	0.02		14/04/2023	12/05/2023
Acido perfluoro-n-undecanoico (PFUdA)	µg/(m2d)	<	0.02		14/04/2023	12/05/2023
Acido perfluorooottanoico (PFOA)	µg/(m2d)	<	0.02		14/04/2023	12/05/2023
Acido perfluorooottansolfonico (PFOS)	µg/(m2d)	<	0.02		14/04/2023	12/05/2023
Acido perfluoropentanoico (PFPeA)	µg/(m2d)	<	0.02		14/04/2023	12/05/2023
Acido perfluorodecansolfonico (PFDS)	µg/(m2d)	<	0.02		14/04/2023	12/05/2023
Acido perfluoro-2-propossipropanoico (HFPO-DA)	µg/(m2d)	Non Previsto		ND	14/04/2023	12/05/2023
ADV N2	µg/(m2d)	<	0.07		14/04/2023	12/05/2023
cC6O4 (CAS 1190931-41-9)	µg/(m2d)	<	0.07		14/04/2023	12/05/2023

